

SKRIPSI

**PENGARUH LAJU ALIRAN VOLUME AIR PADA
HEAT RECOVERY DENGAN TAMBAHAN 4 BALING-
BALING DAN PENGARAH ARUS**



Oleh

I PUTU SANDI RADITYA

**PROGRAM STUDI SARJANA TERAPAN TEKNOLOGI
REKAYASA UTILITAS**

**JURUSAN TEKNIK MESIN
POLITEKNIK NEGERI BALI
2022**

SKRIPSI

**PENGARUH LAJU ALIRAN VOLUME AIR PADA
HEAT RECOVERY DENGAN TAMBAHAN 4 BALING-
BALING DAN PENGARAH ARUS**



Oleh

I PUTU SANDI RADITYA
NIM: 1815234015

**PROGRAM STUDI SARJANA TERAPAN TEKNOLOGI
REKAYASA UTILITAS**

**JURUSAN TEKNIK MESIN
POLITEKNIK NEGERI BALI
2022**

LEMBAR PENGESAHAN

PENGARUH LAJU ALIRAN VOLUME AIR PADA *HEAT RECOVERY* DENGAN TAMBAHAN 4 BALING-BALING DAN PENGARAH ARUS

Oleh

I PUTU SANDI RADITYA

NIM: 1815234015

Diajukan sebagai persyaratan untuk menyelesaikan Skripsi Sarjana Terapan
Teknologi Rekayasa Utilitas pada Jurusan Teknik Mesin
Politeknik Negeri Bali

Disetujui oleh:

Pembimbing I

Dr.Putu Wijaya Sunu, ST, MT
NIP. 198006142006041004

Pembimbing II

I Dewa Made Cipta Santosa, ST, M.Sc, PhD
NIP. 197212211999031002

Disahkan oleh:

Ketua Jurusan Teknik Mesin



Dr. Ir. I Gede Santosa, M.Erg

NIP. 196609241993031003

LEMBAR PERSETUJUAN

PENGARUH LAJU ALIRAN VOLUME AIR PADA *HEAT RECOVERY* DENGAN TAMBAHAN 4 BALING-BALING DAN PENGARAH ARUS

Oleh

I PUTU SANDI RADITYA
NIM. 1815234015

Skripsi ini telah dipertahankan di depan Tim Penguji dan diterima untuk dapat dicetak sebagai Skripsi pada hari/tanggal:
Jumat, 02 September 2022

Tim Penguji

Ketua Penguji : Sudirman, ST, MT
NIP : 196703131991031001

Tanda Tangan



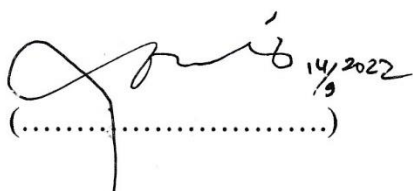
(.....)

Penguji I : I Dewa Gede Agus Tri Putra, ST, MT
NIP : 197611202003121001



(.....)

Penguji II : I Ketut Adi, ST, MT
NIP : 196308251991031001



(.....)

SURAT PERNYATAAN BEBAS PLAGIAT

Saya yang bertanda tangan di bawah ini:

Nama : I Putu Sandi Raditya

NIM : 1815234015

Program Studi : Sarjana Terapan Teknologi Rekayasa Utilitas

Judul Proyek Akhir : Pengaruh Laju Aliran Volume Air Pada *Heat Recovery*
Dengan Tambahan 4 Baling-Baling Dan Pengarah Arus

Dengan ini menyatakan bahwa karya ilmiah Skripsi ini bebas plagiat. Apabila dikemudian hari terbukti plagiat, maka saya bersedia menerima sanksi sesuai Peraturan Mendiknas RI No.17 Tahun 2010 dan Perundang-undangan yang berlaku.

Badung, 29 Agustus 2022
Yang membuat Pernyataan



I Putu Sandi Raditya
NIM: 1815234015

UCAPAN TERIMA KASIH

Dalam penyusunan Buku Skripsi ini, penulis banyak menerima bimbingan, petunjuk dan bantuan serta dorongan dari berbagai pihak baik yang bersifat moral maupun material. Penulis secara khusus mengucapkan terima kasih yang sebesar-besarnya kepada semua pihak yang telah membantu. Dengan puji syukur kepada Tuhan Yang Maha Esa, penulis pada kesempatan ini menyampaikan rasa terima kasih yang sebesar-besarnya kepada :

1. Bapak I Nyoman Abdi, SE., M.eCom., selaku Direktur Politeknik Negeri Bali.
2. Bapak Dr. Ir. I Gede Santosa, M.Erg, selaku Ketua Jurusan Teknik Mesin
3. Bapak I Kadek Ervan Hadi Wiyanta, ST, MT, selaku Sekretaris Jurusan Teknik Mesin
4. Bapak Dr. Made Ery Arsana, ST, MT, selaku Ketua Program Studi Sarjana Terapan Teknologi Rekayasa Utilitas
5. Bapak Dr. Putu Wijaya Sunu, ST, MT, selaku dosen pembimbing 1 yang selalu memberikan bimbingan, arahan, dorongan, dan semangat kepada penulis, sehingga Buku Skripsi ini dapat terselesaikan.
6. Bapak I Dewa Made Cipta Santosa, ST, M.Sc, PhD, selaku dosen pembimbing 2 yang selalu memberikan dukungan, perhatian, semangat dari awal menjadi mahasiswa hingga saat ini.
7. Segenap dosen dan seluruh staf akademik serta PLP yang selalu membantu dalam memberikan fasilitas, ilmu, serta pendidikan pada penulis hingga dapat menunjang dalam penyelesaian Skripsi ini.
8. Kedua orang tua tercinta yang selama ini telah membantu penulis dalam bentuk perhatian, kasih sayang, semangat, serta doa demi kelancaran dan kesuksesan dalam menyelesaikan Skripsi ini.
9. Kemudian terima kasih banyak untuk adik tercinta yang telah memberikan dukungan serta perhatian kepada penulis.
10. Teman-teman seperjuangan dalam menyelesaikan Skripsi tahun 2022 yang telah memberikan banyak masukan serta dukungan kepada penulis.
11. Sahabat-sahabat, TRU, Keluarga besar, Kerabat terima kasih telah menjadi sahabat terbaik bagi penulis yang selalu memberikan dukungan, semangat, motivasi, serta doa hingga penulis dapat menyelesaikan Buku Skripsi ini.
12. Serta masih banyak lagi pihak-pihak yang sangat berpengaruh dalam proses penyelesaian skripsi yang tidak bisa peneliti sebutkan satu persatu Semoga Tuhan Yang Maha Esa senantiasa membalas semua kebaikan yang telah diberikan.

Semoga Buku Skripsi ini dapat bermanfaat bagi para pembaca umumnya, peneliti atau penulis, dan khususnya kepada civitas akademik Politeknik Negeri Bali.

Badung, 29 Agustus 2022
I Putu Sandi Raditya

ABSTRAK

Sistem pendingin atau refrigerasi merupakan proses pelepasan kalor dari suatu substansi dengan cara penurunan temperatur dan pemindahan panas ke substansi lainnya. Salah satu pemanfaatan yang ingin penulis coba lakukan adalah pemanfaatan panas refrigeran pada keluaran kompresor,yang di mana sebelum panas dibuang ke lingkungan melalui kondensor, refrigeran panas yang keluar dari kompresor dilewatkan pada sebuah tabung yang berisi air untuk diambil panasnya oleh air sebelum masuk ke komponen kondensor. Untuk mempercepat proses perpindahan kalor ditambahkan komponen baling-baling dan pengarah arus. Baling-baling dan pengarah arus diharapkan mampu untuk mempercepat proses perpindahan kalor dari refrigeran ke media lain yakni air.

Penelitian ini menggunakan metode eksperimen karena dilakukan dengan pengujian laju aliran volume air akibat pengaruh tambahan baling-baling dan pengarah arus pada *heat recovery* yang dilakukan di sebuah simulator AC split. Adapun pemasangan baling-baling dilakukan pada sebuah tabung yang diisi dengan media air yang dimana tabung akan dilewati oleh pipa refrigeran keluaran kompresor yang memiliki temperatur tinggi. Analisis akan dilakukan pada laju perpindahan panas sistem akibat variasi volume air.

Dari pengujian yang dilakukan pada *heat recovery* AC Split dengan menggunakan baling-baling dan pengarah arus dan tanpa baling-baling dan pengarah arus menunjukan bahwa perpindahan panas (*Qreal*) sebesar $-7,8^{\circ}\text{C} - 3,81^{\circ}\text{C}$. Semakin besar volume air maka *Qreal* (laju perpindahan panas) yang dihasilkan semakin besar.

Kata kunci: *perpindahan panas, heat recovery, baling-baling*

THE EFFECT OF WATER VOLUME FLOW RATE ON HEAT RECOVERY WITH ADDITIONAL 4 PROPELLERS AND CURRENT DIRECTORS

ABSTRACT

The cooling or refrigeration system is the process of releasing heat from a substance by lowering its temperature and transferring heat to another substance. One of the uses that the author wants to try is the use of refrigerant heat at the compressor output, where before the heat is discharged into the environment through the condenser, the hot refrigerant coming out of the compressor is passed through a tube containing water to be taken up by water before entering the condenser component. To speed up the heat transfer process, a propeller and a current guide are added. The propeller and current guide are expected to be able to activate the heat transfer process from the refrigerant to another medium, namely air.

This study uses an experimental method because it is carried out by testing the flow rate of the volume of water due to the influence of additional propellers and current guides on heat recovery which is carried out in a split AC simulator. The installation of the propeller is carried out on a tube filled with water media where the tube will be passed by the compressor output refrigerant pipe which has a high temperature. The analysis will be carried out on the rate of heat transfer of the system due to variations in water volume.

From the tests carried out on Split AC heat recovery using a propeller and a current guide and without a propeller and a current guide, it shows that the heat transfer (Q_{real}) is $-7,8^{\circ}\text{C} - 3,81^{\circ}\text{C}$. The greater the volume of water, the Q_{real} (heat transfer rate) produced is greater.

Keywords: *heat transfer, heat recovery, propeller*

KATA PENGANTAR

Puji syukur penulis panjatkan kepada Tuhan Yang Maha Esa karena atas rahmat-Nya penulis dapat menyelesaikan penelitian Skripsi ini yang berjudul “Pengaruh Laju Aliran Volume Air Pada *Heat Recovery* Dengan Tambahan 4 Baling-Baling dan Pengarah Arus” tepat pada waktunya. Penyusunan penelitian skripsi ini merupakan salah satu syarat untuk kelulusan program pendidikan pada jenjang Sarjana Terapan Teknologi Rekayasa Utilitas Jurusan Teknik Mesin Politeknik Negeri Bali.

Penulis menyadari penelitian Skripsi ini masih jauh dari sempurna, oleh karena itu penulis sangat mengharapkan kritik dan saran sebagai pembelajaran demi penyempurnaan karya-karya ilmiah penulis di masa yang akan datang.

Badung, 29 Agustus 2022
I Putu Sandi Raditya

DAFTAR ISI

Halaman Judul.....	ii
Pengesahan oleh Pembimbing	iii
Persetujuan Dosen Penguji.....	iv
Pernyataan Bebas Plagiat	v
Ucapan Terima kasih.....	vi
Abstrak dalam Bahasa Indonesia	viii
Absract dalam Bahasa Inggris.....	ix
Kata Pengantar	x
Daftar Isi.....	xi
Daftar Tabel	xiv
Daftar Gambar.....	xv
Daftar Lampiran	xviii
BAB 1 PENDAHULUAN	1
1.1 Latar Belakang.....	1
1.2 Rumusan Masalah.....	2
1.3 Batasan Masalah	2
1.4 Tujuan Penelitian	2
1.4.1 Tujuan Umum	2
1.4.2 Tujuan Khusus.....	3
1.5 Manfaat Penelitian	3
1.5.1 Bagi Penulis.....	3
1.5.2 Bagi Politeknik Negeri Bali	3
1.5.3 Bagi Masyarakat.....	3
BAB II LANDASAN TEORI	4
2.1 Refrigerasi	4
2.2 Siklus Kompresi Uap	4
2.3 AC Split (AC Domestik).....	6
2.4 Alat Penukar Kalor (<i>Heat Exchanger</i>)	8
2.4.1 Arah Aliran Parallel (<i>Parallel Flow</i>).....	9

2.4.2 Counter Flow	10
2.4.3 LMTD (<i>Log Mean Temperature Difference</i>)	11
2.4.4 Efektivitas perpindahan panas	11
2.5 Heat Recovery	12
2.6 Proses Perpindahan Panas	12
2.6.1 Perpindahan Kalor Secara Konduksi	13
2.6.2 Perpindahan Kalor Secara Konveksi	14
2.6.3 Perpindahan Kalor Secara Radiasi.....	17
2.7 Komponen-Komponen Mekanik Pengujian Pada AC Split.....	18
2.7.1 Kompresor	18
2.7.2 Kondenser	19
2.7.3 Pipa Kapiler	19
2.7.4 Evaporator.....	20
2.7.5 Accumulator	21
2.7.6 Filter Dryer	21
2.7.7 Overload	22
2.7.8 Kapasitor.....	22
2.7.9 Motor Listrik Fan dan Motor Blower	23
2.7.10 Fan dan Blower.....	24
2.7.11 Thermistor.....	25
2.7.12 PCB Kontrol	25
2.7.13 Pompa Air.....	26
2.7.14 Heat Exchanger (<i>Shell and Coil</i>).....	26
2.7.15 Baling-Baling.....	27
2.7.16 Pengarah Arus.....	27
2.7.17 Rotameter.....	28
BAB III METODE PENELITIAN	29
3.1 Jenis Penelitian.....	29
3.1.1 Desain dan Pemodelan.....	30
3.2 Alur Penelitian	31
3.3 Lokasi dan Waktu Penelitian	32

3.4	Penentuan Sumber Data	33
3.5	Sumber Daya Penelitian.....	34
3.6	Instrumen Penelitian.....	34
3.6.1	<i>Pressure Gauge</i>	34
3.6.2	<i>Thermokopel</i>	35
3.6.3	Pompa Vacum.....	35
3.6.4	<i>Stop Watch</i>	36
3.6.5	Rotameter.....	36
3.7	Prosedur Penelitian.....	37
3.7.1	Langkah Persiapan.....	37
3.7.2	Langkah Pengambilan Data.....	37
	BAB IV HASIL DAN PEMBAHASAN	39
4.1	Hasil Penelitian	39
4.1.1	Perhitungan Nilai Efektivitas dan LMTD Dengan 4 Baling-Baling dan Pengarah Arus Pada Laju Aliran Massa Air 0,266 kg/s	42
4.2	Pembahasan.....	45
	BAB V PENUTUP.....	55
5.1	Kesimpulan	55
5.2	Saran.....	55
	DAFTAR FUSTAKA	56
	LAMPIRAN.....	

DAFTAR TABEL

Tabel 3.1 <i>Time Schedule Skripsi</i>	32
Tabel 3.2 Format Data Hasil Pengujian	38
Tabel 4.1 Data Hasil Pengujian <i>Heat Recovery Dengan 4 Baling-Baling dan Pengarah Arus Pada Laju Aliran Massa Air 0,266 kg/s</i>	40
Tabel 4.2 Data Hasil Pengujian <i>Heat Recovery Tanpa 4 Baling-Baling dan Pengarah Arus Pada Laju Aliran Massa Air 0,266 kg/s</i>	41
Tabel 4.3 Tabel Hasil Pengujian <i>Heat Recovery Dengan 4 Baling-Baling dan Pengarah Arus Pada Laju Aliran Massa Air 0,266 kg/s</i>	44
Tabel 4.4 Tabel Hasil Pengujian <i>Heat Recovery Tanpa 4 Baling-Baling dan Pengarah Arus Pada Laju Aliran Massa Air 0,266 kg/s</i>	45

DAFTAR GAMBAR

Gambar 2.1 Skema Siklus Kompresi Uap	5
Gambar 2.2 Diagram P-h Siklus Kompresi Uap	5
Gambar 2.3 Sistem Kompresi Uap dengan <i>Heat Recovery</i>	7
Gambar 2.4 Arah Aliran Paralel (<i>Parallel Flow</i>)	9
Gambar 2.5 Arah Aliran <i>Counter Flow</i>	10
Gambar 2.6 Perpindahan Panas Konduksi Pada Selubung Dinding	13
Gambar 2.7 Proses Perpindahan Panas Konveksi	14
Gambar 2.8 Proses Konveksi Alamiah.....	15
Gambar 2.9 Proses Konveksi Paksa	16
Gambar 2.10 Perpindahan Panas Konveksi.....	17
Gambar 2.11 Perpindahan Panas Radiasi	17
Gambar 2.12 Kompresor Pipa Hisap dan Tekan	19
Gambar 2.13 Kondensor.....	19
Gambar 2.14 Pipa Kapiler	20
Gambar 2.15 Evaporator.....	21
Gambar 2.16 Accumulator	21
Gambar 2.17 Filter Dryer	22
Gambar 2.18 Overload	22
Gambar 2.19 Kapasitor.....	23
Gambar 2.20 Motor Listrik Fan dan Motor Blower	24
Gambar 2.21 Fan dan Blower.....	24
Gambar 2.22 Thermistor.....	25
Gambar 2.23 PCB Kontrol	25
Gambar 2.24 Pompa Air.....	26
Gambar 2.25 <i>Heat Exchanger (Shell and Coil)</i>	26
Gambar 2.26 Baling-Baling.....	27
Gambar 2.27 Pengarah Arus.....	27
Gambar 2.28 Rotameter.....	28

Gambar 3.1 Skema Simulator AC Split	30
Gambar 3.2 Bagan Tahap Pelaksanaan Skripsi	31
Gambar 3.3 Posisi Penempatan Alat Ukur	33
Gambar 3.4 <i>Pressure Gauge</i>	34
Gambar 3.5 <i>Thermokoppel</i>	35
Gambar 3.6 Pompa Vacum.....	35
Gambar 3.7 <i>Stop Watch</i>	36
Gambar 3.8 Rotameter.....	36
Gambar 4.1 AC Split Dengan <i>Heat Recovery</i>	39
Gambar 4.2 Temperatur <i>Heat Recovery</i> Dengan Baling-Baling Pada Laju Aliran Massa Air 0,266 kg/s	40
Gambar 4.3 Temperatur <i>Heat Recovery</i> Tanpa Baling-Baling Pada Laju Aliran Massa Air 0,266 kg/s	41
Gambar 4.4 Perbandingan LMTD Menggunakan Baling-Baling dan Tanpa Menggunakan Baling-Baling pada laju aliran massa air 0,200 kg/s.46	46
Gambar 4.5 Perbandingan LMTD Menggunakan Baling-Baling dan Tanpa Menggunakan Baling-Baling pada laju aliran massa air 0,233 kg/s.46	46
Gambar 4.6 Perbandingan LMTD Menggunakan Baling-Baling dan Tanpa Menggunakan Baling-Baling pada laju aliran massa air 0,266 kg/s.47	47
Gambar 4.7 Perbandingan LMTD Menggunakan Baling-Baling dan Tanpa Menggunakan Baling-Baling pada laju aliran massa air 0,300 kg/s.47	47
Gambar 4.8 Perbandingan Nilai Efektivitas Menggunakan Baling-Baling dan Tanpa Menggunakan Baling-Baling pada laju aliran massa air 0,200 kg/s.....48	48
Gambar 4.9 Perbandingan Nilai Efektivitas Menggunakan Baling-Baling dan Tanpa Menggunakan Baling-Baling pada laju aliran massa air 0,233 kg/s.....49	49
Gambar 4.10 Perbandingan Nilai Efektivitas Menggunakan Baling-Baling dan Tanpa Menggunakan Baling-Baling pada laju aliran massa air 0,266 kg/s	49

Gambar 4.11 Perbandingan Nilai Efektivitas Menggunakan Baling-Baling dan Tanpa Menggunakan Baling-Baling pada laju aliran massa air 0,300 kg/s	50
Gambar 4.12 Perbandingan <i>Qreal</i> Menggunakan Baling-Baling dan Tanpa Menggunakan Baling-Baling pada laju aliran massa air 0,200 kg/s	51
Gambar 4.13 Perbandingan <i>Qreal</i> Menggunakan Baling-Baling dan Tanpa Menggunakan Baling-Baling pada laju aliran massa air 0,233 kg/s	51
Gambar 4.14 Perbandingan <i>Qreal</i> Menggunakan Baling-Baling dan Tanpa Menggunakan Baling-Baling pada laju aliran massa air 0,266 kg/s	52
Gambar 4.15 Perbandingan <i>Qreal</i> Menggunakan Baling-Baling dan Tanpa Menggunakan Baling-Baling pada laju aliran massa air 0,300 kg/s	52
Gambar 4.16 Perbandingan LMTD Menggunakan Baling-Baling dan Tanpa Baling-Baling Dengan Variasi laju aliran massa air	53
Gambar 4.17 Perbandingan <i>Qreal</i> Menggunakan Baling-Baling dan Tanpa Baling-Baling Dengan Variasi laju aliran massa air	54
Gambar 4.18 Perbandingan Efektivitas Menggunakan Baling-Baling dan Tanpa Baling-Baling Dengan Variasi laju aliran massa air	54

LAMPIRAN

- Lampiran 1 : Tabel laju aliran massa air 0,200 kg/s dengan Baling-Baling
- Lampiran 2 : Tabel laju aliran massa air 0,2 kg/s tanpa Baling-Baling
- Lampiran 3 : Tabel laju aliran massa air 0,233 kg/s dengan Baling-Baling
- Lampiran 4 : Tabel laju aliran massa air 0,133 kg/s tanpa Baling-Baling
- Lampiran 5 : Tabel laju aliran massa air 0,266 kg/s dengan Baling-Baling
- Lampiran 6 : Tabel laju aliran massa air 0,266 kg/s tanpa Baling-Baling
- Lampiran 7 : Tabel laju aliran massa air 0,300 kg/s dengan Baling-Baling
- Lampiran 8 : Tabel laju aliran massa air 0,300 kg/s tanpa Baling-Baling
- Lampiran 9 : Lembar bimbingan I
- Lampiran 10 : Lembar bimbingan II

BAB I

PENDAHULUAN

1.1 Latar Belakang

Prinsip kerja mesin pendingin adalah memindahkan panas dari suatu tempat yang temperaturnya rendah ke tempat yang temperaturnya lebih tinggi. Pendinginan adalah usaha mencapai temperatur lebih rendah dari temperatur sekitarnya. Sistem pendingin atau refrigerasi merupakan proses pelepasan kalor dari suatu substansi dengan cara penurunan temperatur dan memindahkan panas ke substansi lainnya. Salah satu pemanfaatan yang ingin penulis coba lakukan yaitu pemanfaatan panas refrigeran pada keluaran kompresor, dimana sebelum panas dibuang ke lingkungan melalui kondensor, refrigeran panas yang keluar dari kompresor dilewatkan pada sebuah tabung yang berisi air (*Heat Recovery*) untuk diambil panasnya oleh air sebelum masuk ke komponen kondensor .

Untuk mempercepat suatu proses perpindahan kalor, ditambahkanlah sebuah komponen yang disebut dengan baling-baling.Baling-baling diharapkan mampu untuk mempercepat proses perpindahan kalor dari refrigeran ke media lain yakni air dengan cara memutar arah aliran air. Panas / kalor adalah energi yang berpindah akibat perbedaan suhu. Panas bergerak dari daerah bersuhu tinggi ke daerah yang bersuhu rendah. Setiap benda memiliki energi yang berhubungan dengan gerak acak dari atom - atom atau molekul penyusunnya. Kalor dapat mengubah suhu suatu zat, misalnya saat seorang ibu membuat minuman teh untuk anaknya,beliau mencampur air panas dengan air dingin agar teh yang dibuatnya hangat.Saat pencampuran air panas dan air dingin , maka air panas melepaskan energi panas,sedangkan air dingin menerima energi panas tersebut.

Di zaman sekarang ini, inovasi mesin refrigerasi di Indonesia sangat pesat perkembangannya. Salah satu inovasi yang penulis ingin analisis adalah pengaruh laju aliran volume air pada *heat recovery* dengan tambahan 4 baling-baling dan pengarah arus untuk bisa meningkatkan laju perpindahan panas.Baling-baling adalah suatu alat yang dibuat agar dapat merubah arah aliran air pada *heat recovery*.

Dengan dipasangnya baling-baling tersebut diharapkan mampu mempercepat proses perpindahan panas dari refrigeran ke media lain yakni air. Dengan demikian temperatur refrigeran yang masuk ke kondensor bisa lebih rendah dan perpindahan panas dari refrigeran ke air menjadi lebih efektif . Panas yang dipindahkan dari gas refrigeran tersebut berpindah dengan cara konduksi dan konveksi.

1.2 Rumusan Masalah

Adapun rumusan masalah yang akan dibahas dalam pengaruh laju aliran volume air pada *heat recovery* dengan tambahan 4 baling-baling dan pengarah arus terdapat suatu masalah yaitu :

- a. Seberapa besar pengaruh laju aliran volume air akibat penambahan baling-baling dan pengarah arus pada *heat recovery* ?
- b. Bagaimana pengaruh volume air terhadap laju perpindahan panas pada *heat recovery*?

1.3 Batasan Masalah

Batasan masalah tentang skripsi ini hanya mencakup hal - hal yang berkaitan dengan:

- a. Seberapa besar pengaruh laju aliran volume air pada *heat recovery* dengan tambahan 4 baling-baling dan pengarah arus.
- b. Beban pendinginan AC sama pada saat menggunakan baling-baling & tanpa menggunakan baling-baling dan pengarah arus.

1.4 Tujuan Penilitian

Adapun yang menjadi tujuan dari penilitian ini yaitu:

1.4.1 Tujuan umum

1. Secara umum tujuan ditulisnya skripsi ini selain untuk memenuhi tugas akhir, penulis juga berharap skripsi ini dapat dijadikan sebagai acuan untuk membiasakan diri dalam memecahkan suatu masalah yang nantinya dijumpai dilapangan
2. Penelitian ini juga bertujuan untuk menambah wawasan mahasiswa terhadap perkembangan teknologi yang semakin maju.

1.4.2 Tujuan khusus

1. Mengetahui pemanfaatan / penggunaan baling-baling dan pengarah arus pada *heat recovery* untuk meningkatkan pengaruh laju aliran volume air terhadap perpindahan panas.
2. Mengetahui bagaimana volume air terhadap laju perpindahan panas pada *heat recovery*.

1.5 Manfaat Penelitian

Penulis berharap hasil dari analisis yang berjudul “ Pengaruh Laju Aliran Volume Air Pada *Heat Recovery* dengan Tambahan 4 Baling-Baling dan Pengarah Arus ” ini dapat memberi manfaat bagi penulis,dan sebagai sarana pembelajaran khusus praktikum di Politeknik Negeri Bali.

1.5.1 Bagi Penulis

1. Memperdalam pengetahuan di bidang Teknologi Rekayasa Utilitas.
2. Sebagai sarana untuk menerapkan ilmu pengetahuan yang di dapat selama mengikuti perkuliahan di Politeknik Negeri Bali khususnya Program Studi Sarjana Terapan Teknologi Rekayasa Utilitas dan dapat mengaplikasikan teori serta mengembangkan ide-ide dan menuangkan langsung berdasarkan permasalahan yang ada di sekitar kita.

1.5.2 Bagi Politeknik Negeri Bali

Dapat menambah koleksi bahan bacaan dan dapat dipergunakan sebagai acuan bagi mahasiswa Politeknik Negri Bali, khususnya Program Studi Sarjana Terapan Teknologi Rekayasa Utilitas.

1.5.3 Bagi Masyarakat

Hasil penelitian alat ini dapat memberikan pengetahuan baru bagi banyak kalangan masyarakat.

BAB V

PENUTUP

5.1 Kesimpulan

1. Dari pengujian yang dilakukan pada *heat recovery* AC Split dengan menggunakan baling-baling dan pengarah arus memperoleh laju perpindahan panas (Q_{real}) sebesar $-7,8\text{ }^{\circ}\text{C} - 3,81\text{ }^{\circ}\text{C}$.
2. Dari pengujian pengaruh laju aliran volume air yang telah dilakukan dapat disimpulkan semakin besar volume air maka hasil Q_{real} (laju perpindahan panas) semakin besar.

5.2 Saran

Dalam pengujian *heat recovery*, saran yang dapat disampaikan oleh penulis adalah:

1. Pastikan pada saat pengujian, penggunaan alat ukur terbebas dari imbas arus listrik untuk mencegah terjadinya kerusakan pada *display thermocouple*.
2. Memperhatikan temperatur lingkungan yang nantinya berpengaruh pada temperatur keluaran pada kompresor.
3. Saat pengambilan data pastikan pengambilan data diambil di waktu yang sama.

DAFTAR PUSTAKA

- Admin Prodeal Astro, 2019, Mengenal Komponen Pendukung AC dan Kelistrikan, <https://www.prodealastro.com/komponen-pendukung-ac-kelistrikan/#page-content>
- Andi, 2019, Kenali Komponen AC Split Indoor dan Outdoor, <https://halojasa.com/blog/blog/2019/09/02/kenali-komponen-ac-split-indoor-dan-outdoor/>
- Ashar Ariffin, 2021, 13 Komponen AC dan Fungsinya, <https://www.carailmu.com/2021/06/komponen-ac-dan-fungsinya.html>
- Azqiara. 2019. *Pengertian Stopwatch, Jenis dan Prinsipnya.* <https://www.idpengertian.com/pengertian-stopwatch/>. Diakses pada tanggal 5 April 2019.
- Belajar, A. M. (2022). *Fungsi Termokopel / Salah Satu Alat Untuk Mengukur Temperatur.* Retrieved from Aku Mau Belajar Tempatnya Ilmu yang Bermanfaat Dunia Akhirat: <https://akumaubelajar.com/ilmu-pendidikan/fungsi-termokopel/>. Diakses pada tanggal 13 Januari 2022
- Bina Indo Jaya, (2022), Pompa Vacum AC, <https://www.binaindojaya.com/produk/pompa-vakum-ac>
- egsean.com, (2016) Fungsi masing-masing komponen pada AC split, <https://egsean.com/fungsi-masing-masing-komponen-pada-ac-split/>
- Endra, W. 2015. Studi Eksperimental Peningkatan Perpindahan Panas Aliran Turbulen pada Penukar Kalor Pipa Konsentrik Dengan Perforated Twisted Tape Insert with Parallel Wings. *Rotasi.* 17 (3): 120 – 129.
- Era, S. (2020). *FILTER DRIER.* Retrieved from Surya Era. AC & Refrigeration Spare Parts: <https://suryaera.com/produk-promo/filter-drier>. Diakses pada tanggal 13 Januari 2022
- Gununges13. (2013). *Accumulator.* Retrieved from GUNUNGES13 COOLING EQUIPMENT: <https://ges13.com/product/accumulator-sa-series/>. Diakses pada tanggal 13 Januari 2022

- Holman, J.P. 2010. *Heat Transfer*. Amaricas: McGraw-Hill.
- Istanto, T. 2011. Pengujian Karakteristik Perpindahan Panas dan Faktor Gesekan pada Penukar Kalor Pipa Konsentrik Dengan Sisipan Pita Terpilin Berlubang. *Jurnal Fakultas Teknik Uneversitas Sebelas Maret*. 10 (1): 7 – 14.
- Mesin, J. T., Teknik, F., & Jember, U. (2016). *Digital Digital Repository Repository Universitas Universitas Jember Jember Digital Digital Repository Repository Universitas Universitas Jember Jember*.
- Mentrek, (2019), Cara perbaikan modul Ac split, <https://www.juraganacee.com/2019/05/cara-perbaikan-modul-ac-split.html>
- Purnomo, E.D., Yaningsih, I., dan Wijayanta, A.T., 2016. Pengujian Karakteristik Perpindahan Panas Dan Faktor Gesekan Pada Penukar Kalor Pipa Konsentrik Dengan Trapezoidal-Cut Twisted Tape Insert. *Publikasi ilmiah*. ISSN 1412-9612: 15-22.
- Putra, K.U.A. 2015. *Pengujian Heat Recovery Untuk Berbagai Refrigran*. Proyek Akhir. Politeknik Negeri Bali, Badung-Bali.
- Putrawan, I.W.A.A. 2018. *Pemanfaatan Swirl Flow Generator Pada Heat Recovery Untuk Meningkatkan Laju Perpindahan Panas*. Proyek Akhir. Politeknik Negeri Bali, Badung-Bali.
- Saputra, A. 2012. *Air Conditioner*. <http://air-conditioner-ariffandisaputra.blogspot.com/2012/03/bab-iii-pengetahuan-dasar-tentang-ac.html>. Diakses pada tanggal 16 Januari 2019.
- Suamir, I.N. 2015. *Teknologi Refrigrasi*. Politeknik Negeri Bali, Badung-Bali.
- Sunu, P.W. 2015. *Mekanika Fluida*. Politeknik Negeri Bali, Badung-Bali.
- Susila, I.D.M. 2015. *Termodinamika Teknik*. Politeknik Negeri Bali, Badung-Bali.
- Siallagan, A. (2021). UNIVERSITAS SUMATERA UTARA Poliklinik UNIVERSITAS SUMATERA UTARA. *Jurnal Pembangunan Wilayah & Kota*, 1(3), 82–91.

- Sibagariang, Y. P. (2018). *Analisa performansi ac split ½ pk dengan penambahan alat penukar kalor tipe selongsong.*
- Snastools. (2018). *tang ampere digital / digital clamp meter FLUKE 305 1000A.* Retrieved from Tokopedia: <https://www.tokopedia.com/sanstechtools/tang-ampere-digital-digital-clamp-meter-fluke-305-1000a>. Diakses pada tanggal 13 Januari 2022
- Temaja, I.W. 2015. *Perpindahan Panas.* Politeknik Negeri Bali, Badung-Bali.
- Udin, A.R.A. dan Budiprasojo, A. 2016. *Efek Turbulator Louvered Strip Twisted Terhadap Kinerja Double Tube Heat Exchanger.* <https://www.researchgate.net/publication/>. Diakses pada tanggal 18 Februari 2019.
- Wibowo, B.S., dkk. 2018. Laju Perpindahan Kalor Konveksi Di Inner Tube Pada Pipa Konsentrik Saluran Annular Dengan Twisted Tape Insert Pada Nanofluida Titanium Oxide (Tio2) Dengan Fluida Dasar Oli Termo Xt32. *Jurnal Universitas Bangka Belitung.* ISBN 978-602-61545-0-7: 90 – 192.
- Yaningsih, I. 2016. Pengujian Karakteristik Perpindahan Panas dan Faktor Gesekan Pada Penukar Kalor Pipa Konsentrik Dengan Trapezoidal-Cut Twisted Tape Insert. *Jurnal Fakultas Teknik Universitas Sebelas Maret.* 10 (2): 95 – 104.

LAMPIRAN

Data Logger Flow 12 Menggunakan Heat Recovery
Continue
Menggunakan baling-baling dan pengaruh arus

Place	Water Out HR(°C)	Water In HR(°C)	Ref In HR(°C)	Ref Out HR(°C)	T1	T2	LMTD	ΔT_{max}	Qreal (kJ/s)	inref	Qmax (kJ/s)	ch (kJ/s e)	Q max (kJ/s)	Effectiveness
1	28,5	27,9	28,6	29	0,5	0,7	0,594	1,1	0,0005	0,000843	0,000766	0,001553	0,545455	
2	28,5	27,9	28,5	29	0,5	0,6	0,548	1,1	0,0005	0,000932	0,000766	0,001242	0,545455	
3	28,5	27,8	28,5	30	1,5	0,7	1,050	2,2	0,0005	0,000936	0,000766	0,001063	0,504677	
4	28,4	27,9	28,5	30	1,6	0,6	1,020	2,1	-0,0004	0,00026	0,000609	0,000345	0,000725	
5	28,1	28	31,4	30	3,3	0,5	1,484	3,4	0,0001	0,00003	0,002606	0,00036	0,000321	
6	28	28,1	32,6	30	4,6	0,4	1,720	4,5	-0,0001	-0,00002	0,003449	0,000766	-0,000114	
7	27,9	28,2	33,7	30	5,8	0,4	2,019	5,5	-0,0002	-0,00005	0,000215	0,000766	-0,000335	
8	27,9	28,2	34,4	30	6,5	0,5	2,339	6,2	-0,0002	-0,00004	0,004751	0,000766	-0,000338	
9	27,9	28,3	35	28,7	7,1	0,4	2,329	6,7	-0,0003	-0,00005	0,005134	0,000766	-0,000440	
10	27,9	28,2	35	28,8	7,1	0,6	2,631	6,8	-0,0002	-0,00004	0,005211	0,000766	-0,000341	
11	28,2	28,1	35	28,9	6,8	0,8	2,804	6,9	0,0001	0,00001	0,005288	0,000766	0,000117	
12	28,2	28,1	35	28,9	6,8	0,8	2,804	6,9	0,0001	0,00001	0,005288	0,000766	0,000117	
13	28,3	28	35	29	6,7	1	2,997	7,0	0,0002	0,00004	0,005364	0,000766	0,000362	
14	28,3	28	35	29	6,7	1	2,997	7,0	0,0002	0,00004	0,005364	0,000766	0,000362	
15	28,4	28	35	29,1	6,6	1,1	3,070	7,0	0,0003	0,00005	0,005364	0,000766	0,000391	
16	28,4	28	35	29,2	6,6	1,2	3,168	7,0	0,0003	0,00005	0,005364	0,000766	0,000390	
17	28,4	28,1	35	29,2	6,6	1,1	3,070	6,9	0,0002	0,00004	0,005288	0,000766	0,000370	
18	28,4	28,2	35	29,3	6,6	1,1	3,070	6,8	0,0002	0,00003	0,005211	0,000766	0,000247	
19	28,4	28,3	35	29,3	6,6	1	2,968	6,7	0,0001	0,00001	0,005134	0,000766	0,000122	
20	28,4	28,3	35	29,3	6,6	1	2,968	6,7	0,0001	0,00001	0,005134	0,000766	0,000122	
21	28,5	28,4	35	29,3	6,5	0,9	2,832	6,6	0,0001	0,00001	0,005058	0,000766	0,000116	
22	28,6	28,5	35	29,2	6,4	0,7	2,576	6,5	0,0001	0,00001	0,004981	0,000766	0,000116	
23	28,6	28,5	35	29,2	6,4	0,7	2,576	6,5	0,0001	0,00001	0,004981	0,000766	0,000116	
24	28,6	28,5	35	29,3	6,4	0,8	2,693	6,5	0,0001	0,00001	0,004981	0,000766	0,000118	
25	28,6	28,5	35	29,2	6,4	0,7	2,576	6,5	0,0001	0,00001	0,004981	0,000766	0,000116	
26	28,6	28,5	35	29,2	6,4	0,7	2,576	6,5	0,0001	0,00001	0,004981	0,000766	0,000116	
27	28,6	28,5	35	29,2	6,4	0,7	2,576	6,5	0,0001	0,00001	0,004981	0,000766	0,000116	
28	28,6	28,5	35	29,2	6,3	0,7	2,549	6,4	0,0001	0,00001	0,004905	0,000766	0,000116	
29	28,6	28,5	35	29,3	6,3	0,7	2,549	6,4	0,0001	0,00001	0,004905	0,000766	0,000116	
30	28,6	28,5	35	29,2	6,3	0,7	2,549	6,4	0,0001	0,00001	0,004905	0,000766	0,000116	
31	28,6	28,5	35	29,2	6,3	0,6	2,474	6,4	0,0001	0,00001	0,004905	0,000766	0,000114	
32	28,6	28,5	35	29,2	6,2	0,6	2,398	6,3	0,0001	0,00001	0,004828	0,000766	0,000114	
33	28,6	28,5	35	29,1	6,2	0,6	2,398	6,3	0,0001	0,00001	0,004828	0,000766	0,000114	
34	28,6	28,5	35	29,1	6,2	0,6	2,398	6,3	0,0001	0,00001	0,004828	0,000766	0,000114	
35	28,6	28,5	35	29,1	6,2	0,6	2,398	6,3	0,0001	0,00001	0,004828	0,000766	0,000114	
36	28,6	28,5	35	29,1	6,2	0,6	2,398	6,3	0,0001	0,00001	0,004828	0,000766	0,000114	
37	28,6	28,5	35	29,1	6,2	0,6	2,398	6,3	0,0001	0,00001	0,004828	0,000766	0,000114	
38	28,6	28,5	34,7	29,3	6,1	0,8	2,609	6,2	0,0001	0,00001	0,004751	0,000766	0,000119	
39	28,6	28,5	34,7	29,4	6,1	0,9	2,717	6,2	0,0001	0,00001	0,004751	0,000766	0,000121	
40	28,6	28,5	34,7	29,5	6,1	1	2,820	6,2	0,0001	0,00001	0,004751	0,000766	0,000123	
41	28,6	28,5	34,6	29,5	6,0	1,2	2,982	6,1	0,0001	0,00002	0,004675	0,000766	0,000129	
42	28,6	28,5	34,6	29,7	6,0	1,2	2,982	6,1	0,0001	0,00002	0,004675	0,000766	0,000129	
43	28,6	28,5	34,6	29,8	6,0	1,3	3,073	6,1	0,0001	0,00002	0,004675	0,000766	0,000132	
44	28,5	28,6	34,5	30	6,0	1,4	3,161	5,9	-0,0001	-0,00002	0,004521	0,000766	-0,000136	
45	28,5	28,6	34,5	30,1	6,0	1,5	3,246	5,9	-0,0001	-0,00002	0,004521	0,000766	-0,000139	
46	28,5	28,6	34,5	30,2	6,0	1,6	3,329	5,9	-0,0001	-0,00002	0,004521	0,000766	-0,000142	
47	28,5	28,6	34,5	30,3	6,0	1,7	3,410	5,9	-0,0001	-0,00002	0,004521	0,000766	-0,000145	
48	28,5	28,6	34,5	30,4	6,0	1,8	3,488	5,9	-0,0001	-0,00002	0,004521	0,000766	-0,000149	
49	28,5	28,6	34,5	30,5	6,0	1,9	3,566	5,9	-0,0001	-0,00002	0,004521	0,000766	-0,000153	
50	28,5	28,6	34,5	30,5	6,0	1,9	3,566	5,9	-0,0001	-0,00002	0,004521	0,000766	-0,000153	
51	28,5	28,6	34,5	30,6	6,0	2	3,641	5,9	-0,0001	-0,00002	0,004521	0,000766	-0,000157	
52	28,5	28,6	34,5	30,7	6,0	2,1	3,715	5,9	-0,0001	-0,00002	0,004521	0,000766	-0,000161	

Data Logger Flow 12 Menggunakan Heat Recovery

Continue

Tanpa menggunakan baling-baling dan pengaruh arus

Place	Water Out HR(°C)	Water In HR(°C)	Ref In HR(°C)	Ref Out HR(°C)	T1	T2	LMTD	Δt _{max}	Qreal (kJ/s)	thref	Qmax (kJ/s)	cc (kJ/s c)	th (kJ/s c)	Q max (kJ/s)	Effectiveness
1	29.7	29.5	28.9	28.2	-0.8	-1.3	-1.030	-0.6	0.00022	-0.000460	0.000766	0.000296	-0.000177	-0.863558	
2	29.7	29.5	28.9	28.2	-0.8	-1.3	-1.030	-0.6	0.0002	0.000460	0.000766	0.000296	-0.000177	-0.863558	
3	29.6	29.5	28.9	28.2	-0.7	-1.3	-0.969	-0.6	0.0001	0.00011	0.000766	0.000148	-0.000089	-0.863558	
4	29.6	29.5	28.9	28.2	-0.7	-1.3	-0.969	-0.6	0.00011	0.00011	0.000766	0.000148	-0.000089	-0.863558	
5	29.6	28.2	28.4	34	4.4	4.4	1.359	5.8	0.00016	0.00019	0.000445	0.000259	0.001501	0.714669	
6	30.3	28.2	28.4	34	3.7	0.2	1.200	5.8	0.00016	0.00029	0.000445	0.000388	0.002252	0.714669	
7	30.3	28.5	28.6	34	3.7	0.1	0.997	5.5	0.00014	0.00026	0.0004215	0.000345	0.001898	0.726734	
8	30.3	28.7	28.8	35.2	4.9	0.1	1.233	6.5	0.00012	0.00019	0.0004981	0.000259	0.001682	0.728805	
9	30.3	28.7	28.8	36.1	5.8	0.1	1.404	7.4	0.00012	0.00017	0.000671	0.000227	0.001679	0.730190	
10	30.3	28.9	36.8	29	6.5	0.1	1.533	7.9	0.00011	0.00014	0.000654	0.000186	0.001468	0.730383	
11	30.4	29	36.8	29.1	6.4	0.1	1.515	7.8	0.00011	0.00014	0.0005977	0.000188	0.001468	0.730703	
12	30.5	29	37.5	29.3	7.0	0.3	2.127	8.5	0.00011	0.00014	0.0006514	0.0001766	0.001610	0.714068	
13	30.5	29	37.5	29.4	7.0	0.4	2.306	8.5	0.00011	0.00014	0.0006514	0.000192	0.001630	0.705360	
14	30.6	29	37.5	29.5	6.9	0.5	2.438	8.5	0.00015	0.00015	0.0006514	0.000207	0.001760	0.696652	
15	30.7	29.4	37.5	29.5	6.8	0.1	1.588	8.1	0.00010	0.00012	0.0006207	0.000168	0.001363	0.731054	
16	30.8	29.4	37.5	29.6	6.7	0.2	1.851	8.1	0.00011	0.00014	0.0006207	0.000183	0.001486	0.721916	
17	30.8	29.4	37.5	29.6	6.7	0.2	1.851	8.1	0.00011	0.00014	0.0006207	0.000183	0.001486	0.721916	
18	30.8	29.6	37.5	29.7	6.7	0.1	1.570	7.9	0.00009	0.00012	0.0006054	0.000159	0.001258	0.730823	
19	30.8	29.6	37.5	29.7	6.7	0.1	1.570	7.9	0.00009	0.00012	0.0006054	0.000159	0.001258	0.730823	
20	30.8	29.6	37.5	29.7	6.7	0.1	1.570	7.9	0.00009	0.00012	0.0006054	0.000159	0.001258	0.730823	
21	30.8	29.6	37.5	29.7	6.7	0.1	1.551	7.9	0.00009	0.00012	0.0006054	0.000159	0.001258	0.730823	
22	30.8	29.6	37.4	29.7	6.6	0.1	1.551	7.8	0.00009	0.00012	0.0005977	0.000161	0.001259	0.730703	
23	30.8	29.6	37.4	29.7	6.6	0.1	1.551	7.8	0.00009	0.00012	0.0005977	0.000161	0.001259	0.730703	
24	30.8	29.6	37.3	29.7	6.5	0.1	1.533	7.7	0.00009	0.00012	0.0005901	0.000163	0.001259	0.730580	
25	30.8	29.5	37.3	29.7	6.5	0.2	1.810	7.8	0.00010	0.00013	0.0005977	0.000177	0.001381	0.721213	
26	30.8	29.5	37.3	29.7	6.5	0.2	1.810	7.8	0.00010	0.00013	0.0005977	0.000177	0.001381	0.721213	
27	30.8	29.5	37.3	29.7	6.5	0.2	1.810	7.8	0.00010	0.00013	0.0005977	0.000177	0.001381	0.721213	
28	30.8	29.5	37.3	29.7	6.5	0.2	1.810	7.8	0.00010	0.00013	0.0005977	0.000177	0.001381	0.721213	
29	30.8	29.5	37.3	29.6	6.5	0.1	1.533	7.8	0.00010	0.00013	0.0005977	0.000176	0.001363	0.730703	
30	30.8	29.5	37.3	29.6	6.5	0.2	1.810	7.8	0.00010	0.00013	0.0005977	0.000176	0.001363	0.730703	
31	30.8	29.5	37.2	29.6	6.4	0.1	1.515	7.7	0.00010	0.00013	0.0005901	0.000176	0.001364	0.730580	
32	30.8	29.5	37.2	29.6	6.4	0.1	1.515	7.7	0.00010	0.00013	0.0005901	0.000176	0.001364	0.730580	
33	30.8	29.6	37.2	29.7	6.4	0.1	1.515	7.6	0.00009	0.00012	0.0005824	0.000176	0.001259	0.730453	
34	30.9	29.6	37.2	29.7	6.3	0.1	1.496	7.6	0.00010	0.00013	0.0005824	0.000179	0.001364	0.730703	
35	30.9	29.7	37.2	29.8	6.3	0.1	1.533	7.8	0.00010	0.00013	0.0005977	0.000176	0.001363	0.730703	
36	30.9	29.7	37.1	30	6.2	0.1	1.478	7.2	0.00008	0.00013	0.0005901	0.000177	0.001364	0.730580	
37	30.9	30.1	37.1	30.2	6.2	0.1	1.478	7.0	0.00006	0.00009	0.0005901	0.000177	0.001364	0.730580	
38	30.9	30.2	37	30.3	6.0	0.1	1.441	6.8	0.00006	0.00009	0.0005211	0.000176	0.00124	0.729307	
39	30.9	30.2	37	30.3	6.0	0.1	1.441	6.8	0.00006	0.00009	0.0005211	0.000176	0.00124	0.729307	
40	30.9	30.3	36.9	30.4	5.9	0.1	1.422	6.6	0.00005	0.00008	0.0005058	0.000176	0.001259	0.730323	
41	31	30.5	36.9	30.6	5.9	0.1	1.422	6.4	0.00004	0.00006	0.0004905	0.000176	0.000526	0.728627	
42	30.9	30.6	36.9	31	6.0	0.1	1.441	6.3	0.00002	0.00004	0.0004828	0.000176	0.000516	0.728443	
43	30.9	30.7	36.9	30.8	6.0	0.1	1.441	6.2	0.00002	0.00003	0.0004751	0.000176	0.000516	0.728254	
44	30.9	30.7	36.9	30.9	6.0	0.2	1.705	6.2	0.00002	0.00003	0.0004751	0.000176	0.000516	0.716315	
45	30.9	30.6	36.9	30.9	6.0	0.3	1.903	6.3	0.00002	0.00004	0.0004828	0.000176	0.000516	0.704945	
46	30.9	30.5	36.9	31	6.0	0.5	2.213	6.4	0.00004	0.00005	0.0004905	0.000176	0.000449	0.682365	
47	30.9	30.5	36.8	31	5.9	0.5	2.188	6.3	0.00003	0.00005	0.0004828	0.000176	0.000449	0.681447	
48	31	30.5	36.8	31.1	5.8	0.6	2.292	6.3	0.00004	0.00007	0.0004828	0.000176	0.000572	0.669698	
49	31	30.5	36.9	31.2	5.9	0.7	2.439	6.4	0.00004	0.00007	0.0004905	0.000176	0.000581	0.659234	
50	30.9	30.6	36.9	31.2	6.0	0.6	2.345	6.3	0.00002	0.00004	0.0004828	0.000176	0.00054	0.669698	

3579	43.7	41.9	92.9	43.1	49.2	1.2	12.926	51.0	0.0014	0.00003	0.039083	0.000766	0.000037	0.001908
3580	43.7	41.9	92.9	43.1	49.2	1.2	12.926	51.0	0.0014	0.00003	0.039083	0.000766	0.000037	0.001908
3581	43.7	41.9	92.9	43.1	49.2	1.2	12.926	51.0	0.0014	0.00003	0.039083	0.000766	0.000037	0.001908
3582	43.7	41.9	92.9	43.1	49.2	1.2	12.926	51.0	0.0014	0.00003	0.039083	0.000766	0.000037	0.001908
3583	43.7	41.9	92.9	43.1	49.2	1.2	12.926	51.0	0.0014	0.00003	0.039083	0.000766	0.000037	0.001908
3584	43.7	41.9	92.9	43.1	49.2	1.2	12.926	51.0	0.0014	0.00003	0.039083	0.000766	0.000037	0.001908
3585	43.7	41.9	92.9	43.1	49.2	1.2	12.926	51.0	0.0014	0.00003	0.039083	0.000766	0.000037	0.001908
3586	43.7	41.9	92.9	43.1	49.2	1.2	12.926	51.0	0.0014	0.00003	0.039083	0.000766	0.000037	0.001908
3587	43.7	42	92.9	43.1	49.2	1.1	12.656	50.9	0.0013	0.00003	0.039006	0.000766	0.000035	0.001799
3588	43.7	42	92.9	43.1	49.2	1.1	12.656	50.9	0.0013	0.00003	0.039006	0.000766	0.000035	0.001799
3589	43.7	42	92.9	43.1	49.2	1.1	12.656	50.9	0.0013	0.00003	0.039006	0.000766	0.000035	0.001799
3590	43.7	42	92.9	43.1	49.2	1.1	12.656	50.9	0.0013	0.00003	0.039006	0.000766	0.000035	0.001799
3591	43.7	42	92.9	43.1	49.2	1.1	12.656	50.9	0.0013	0.00003	0.039006	0.000766	0.000035	0.001799
3592	43.7	42	92.9	43.1	49.2	1.1	12.656	50.9	0.0013	0.00003	0.039006	0.000766	0.000035	0.001799
3593	43.7	42	92.9	43.1	49.2	1.1	12.656	50.9	0.0013	0.00003	0.039006	0.000766	0.000035	0.001799
3594	43.7	42	92.9	43.1	49.2	1.1	12.656	50.9	0.0013	0.00003	0.039006	0.000766	0.000035	0.001799
3595	43.7	42	92.9	43.1	49.2	1.1	12.656	50.9	0.0013	0.00003	0.039006	0.000766	0.000035	0.001799
3596	43.7	42	92.9	43.1	49.2	1.1	12.656	50.9	0.0013	0.00003	0.039006	0.000766	0.000035	0.001799
3597	43.7	42	92.9	43.1	49.2	1.1	12.656	50.9	0.0013	0.00003	0.039006	0.000766	0.000035	0.001799
3598	43.7	42	92.9	43.1	49.2	1.1	12.656	50.9	0.0013	0.00003	0.039006	0.000766	0.000035	0.001799
3599	43.7	42	92.9	43.1	49.2	1.1	12.656	50.9	0.0013	0.00003	0.039006	0.000766	0.000035	0.001799
3600	43.7	42	92.9	43.1	49.2	1.1	12.656	50.9	0.0013	0.00003	0.039006	0.000766	0.000035	0.001799
Rata-rata	38.69708333	37.3504444	82.60736111	39.65766667	43.90928	2.31783	13.93767	45.26650	0.00104	0.00003	0.03469	0.00077	0.00003	0.00148

Data Logger Flow 14 Menggunakan Heat Recovery

Continue

Menggunakan Baling-Baling dan Pengaruh Arus

Place	Water Out HR(°C)	Water In HR(°C)	Ref In HR(°C)	Ref Out HR(°C)	T1	T2	LMTD	Δt _{max}	Qreal (kJ/s)	Qref (kJ/s)	Qmax (kJ/s)	cc (kJ/s.c)	ch (kJ/s.c)	Q max (kJ/s)	Effectiveness
1	28.2	27.5	27.3	27.4	-0.9	-0.1	-0.364	-0.2	0.005	-0.00536	-0.000153	0.000766	-0.007247	0.001449	0.370096
2	28.2	27.5	27.3	27.4	-0.1	-0.1	-0.364	-0.2	0.005	-0.00536	-0.000153	0.000766	-0.007247	0.001449	0.370096
3	28.2	27.3	28.3	27.4	0.1	0.1	0.100	1.0	0.007	0.00077	0.0001035	0.000766	0.000766	0.000766	0.900000
4	26.1	27.3	29.6	27.4	3.5	0.1	0.956	2.3	-0.009	-0.0042	0.001763	0.000766	-0.000565	-0.001299	0.708010
5	27	27.3	29.6	27.4	2.6	0.1	0.767	2.3	-0.002	-0.00010	0.001763	0.000766	-0.000141	-0.000325	0.708010
6	29.8	27.3	30.6	27.4	0.8	0.1	0.337	3.3	0.019	0.00060	0.002529	0.000766	0.000809	0.002529	0.757576
7	31.2	27.3	31.6	27.4	0.4	0.1	0.216	4.3	0.030	0.00071	0.003295	0.000766	0.000961	0.003295	0.906977
8	32	27.3	32.6	27.5	0.6	0.2	0.364	5.3	0.036	0.00071	0.004062	0.000766	0.000954	0.004062	0.886792
9	32	27.4	33.2	27.7	1.2	0.3	0.649	5.8	0.035	0.00064	0.004445	0.000766	0.000866	0.004445	0.793103
10	32	27.4	34	27.9	2.0	0.5	1.082	6.6	0.035	0.00058	0.005058	0.000766	0.000781	0.005058	0.696970
11	32	27.4	34	28.1	2.0	0.7	1.238	6.6	0.035	0.00060	0.005060	0.000766	0.000807	0.005058	0.696970
12	32.8	27.9	34	28.5	1.2	0.6	0.866	6.1	0.038	0.00068	0.004675	0.000766	0.000922	0.004675	0.803279
13	32.8	27.9	34	28.8	1.2	0.9	1.043	6.1	0.038	0.00072	0.004675	0.000766	0.000976	0.004675	0.803279
14	32.8	28	34.8	29.2	2.0	1.2	1.566	6.8	0.037	0.00066	0.005211	0.000766	0.000887	0.005211	0.705882
15	32.8	28	34.8	29.2	2.0	1.2	1.566	6.8	0.037	0.00066	0.005211	0.000766	0.000887	0.005211	0.705882
16	32.8	28	34.8	29.6	2.0	1.6	1.793	6.8	0.037	0.00071	0.005211	0.000766	0.000956	0.005211	0.705882
17	32.9	28	34.8	29.6	1.9	1.6	1.746	6.8	0.038	0.00072	0.005211	0.000766	0.000976	0.005211	0.720588
18	32.9	28	34.8	30.1	1.9	1.9	1.998	6.8	0.038	0.00072	0.005211	0.000766	0.001079	0.005211	0.720588
19	32.9	28	34.9	30.3	2.0	2.3	2.147	6.9	0.038	0.00082	0.005288	0.000766	0.001103	0.005288	0.710145
20	33	28	35	30.4	2.0	2.4	2.194	7.0	0.038	0.00083	0.005364	0.000766	0.001125	0.005364	0.714286
21	33.1	28	35	30.4	1.9	2.4	2.140	7.0	0.039	0.00085	0.005364	0.000766	0.001148	0.005364	0.722857
22	33.1	28	35.1	30.4	2.0	2.4	2.194	7.1	0.039	0.00083	0.005441	0.000766	0.001123	0.005441	0.718310
23	33.2	28	35.3	30.3	2.1	0.8	1.347	5.8	0.028	0.00057	0.004445	0.000766	0.000766	0.004445	0.638097
24	33.2	29.5	35.3	30.2	2.1	0.7	1.274	5.8	0.028	0.00056	0.004445	0.000766	0.000751	0.004356	0.650859
25	33.3	29.5	35.4	30.1	2.1	0.6	1.197	5.9	0.029	0.00055	0.004521	0.000766	0.000742	0.004380	0.664919
26	33.3	29.5	35.4	30.1	2.1	0.6	1.197	5.9	0.029	0.00055	0.004521	0.000766	0.000742	0.004380	0.664919
27	33.3	29.5	35.4	30	2.1	0.5	1.115	5.9	0.029	0.00054	0.004521	0.000766	0.000729	0.004298	0.677646
28	33.4	29.5	35.5	30	2.1	0.5	1.115	6.0	0.030	0.00054	0.004598	0.000766	0.000734	0.004405	0.678510
29	33.4	29.5	35.5	30	2.1	0.5	1.115	6.0	0.030	0.00054	0.004445	0.000766	0.000734	0.004405	0.678510
30	33.4	29.8	35.5	29.9	2.1	0.1	0.657	5.7	0.028	0.00049	0.004368	0.000766	0.000766	0.003794	0.727207
31	33.4	29.8	35.5	29.9	2.1	0.1	0.657	5.7	0.028	0.00049	0.004368	0.000766	0.000766	0.003794	0.727207
32	33.4	29.7	35.6	29.8	2.2	0.1	0.679	5.9	0.028	0.00049	0.004221	0.000766	0.000766	0.003897	0.727647
33	33.4	29.5	35.6	29.7	2.2	0.2	0.834	6.1	0.030	0.00051	0.004675	0.000766	0.000684	0.004175	0.715924
34	33.4	29.5	35.7	29.7	2.3	0.2	0.860	6.2	0.030	0.00050	0.004751	0.000766	0.000673	0.004172	0.716315
35	33.4	29.8	35.5	29.6	2.3	0.1	0.702	6.2	0.030	0.00049	0.004751	0.000766	0.000652	0.004104	0.728754
36	33.3	29.4	35.8	29.5	2.5	0.1	0.746	6.4	0.030	0.00047	0.004905	0.000766	0.000641	0.004102	0.728627
37	33.3	29.4	35.8	29.5	2.5	0.1	0.746	6.4	0.030	0.00047	0.004905	0.000766	0.000641	0.004102	0.728627
38	33.4	29.4	35.9	29.5	2.5	0.1	0.746	6.5	0.031	0.00048	0.004981	0.000766	0.000647	0.004206	0.728805
39	33.4	29.3	35.9	29.4	2.5	0.1	0.746	6.6	0.031	0.00048	0.005058	0.000766	0.000653	0.004310	0.728977
40	33.4	29.3	36	29.4	2.6	0.1	0.767	6.7	0.031	0.00048	0.005134	0.000766	0.000653	0.004309	0.729145
41	33.4	29.3	36	29.4	2.6	0.1	0.767	6.7	0.031	0.00048	0.005134	0.000766	0.000643	0.004309	0.729145
42	33.4	29.3	36.1	29.5	2.7	0.2	0.961	6.8	0.031	0.00048	0.005211	0.000766	0.000643	0.004373	0.718422
43	33.4	29.3	36.1	29.5	2.7	0.2	0.961	6.8	0.031	0.00048	0.005211	0.000766	0.000643	0.004373	0.718422
44	33.4	29.5	36.2	29.6	2.8	0.1	0.810	6.7	0.030	0.00048	0.005134	0.000766	0.000612	0.004099	0.729145
45	33.5	29.5	36.3	29.6	2.8	0.1	0.810	6.8	0.031	0.00046	0.005211	0.000766	0.000618	0.004203	0.729307
46	33.5	29.5	36.4	29.6	2.9	0.1	0.832	6.9	0.031	0.00045	0.005288	0.000766	0.000609	0.004202	0.729465
47	33.5	29.5	36.5	29.7	3.0	0.2	1.034	7.0	0.031	0.00045	0.005364	0.000766	0.000609	0.004263	0.719044
48	33.4	29.5	36.6	29.7	3.2	0.2	1.082	7.1	0.030	0.00045	0.005441	0.000766	0.000585	0.004155	0.719342
49	33.4	29.7	36.7	29.8	3.3	0.1	0.915	7.0	0.028	0.00041	0.005364	0.000766	0.000555	0.003886	0.729618
50	33.4	29.7	36.7	29.9	3.3	0.2	1.106	7.0	0.028	0.00042	0.005364	0.000766	0.000553	0.003943	0.719044

3579	44.5	43.1	92.7	44	48.2	0.9	11.882	49.6	0.0011	0.00002	0.000766	0.000030	0.001476
3580	44.5	43.1	92.7	44	48.2	0.9	11.882	49.6	0.0011	0.00002	0.000766	0.000030	0.001476
3581	44.5	43.1	92.7	44	48.2	0.9	11.882	49.6	0.0011	0.00002	0.000766	0.000030	0.001476
3582	44.5	43.1	92.7	44	48.2	0.9	11.882	49.6	0.0011	0.00002	0.000766	0.000030	0.001476
3583	44.5	43.1	92.7	44	48.2	0.9	11.882	49.6	0.0011	0.00002	0.000766	0.000030	0.001476
3584	44.5	43.1	92.7	44	48.2	0.9	11.882	49.6	0.0011	0.00002	0.000766	0.000030	0.001476
3585	44.5	43.1	92.7	44	48.2	0.9	11.882	49.6	0.0011	0.00002	0.000766	0.000030	0.001476
3586	44.5	43.1	92.7	44	48.2	0.9	11.882	49.6	0.0011	0.00002	0.000766	0.000030	0.001476
3587	44.5	43.1	92.7	44	48.2	0.9	11.882	49.6	0.0011	0.00002	0.000766	0.000030	0.001476
3588	44.5	43.1	92.7	44	48.2	0.9	11.882	49.6	0.0011	0.00002	0.000766	0.000030	0.001476
3589	44.5	43.1	92.7	44	48.2	0.9	11.882	49.6	0.0011	0.00002	0.000766	0.000030	0.001476
3590	44.5	43.1	92.7	44	48.2	0.9	11.882	49.6	0.0011	0.00002	0.000766	0.000030	0.001476
3591	44.5	43.1	92.7	44	48.2	0.9	11.882	49.6	0.0011	0.00002	0.000766	0.000030	0.001476
3592	44.5	43.1	92.7	44	48.2	0.9	11.882	49.6	0.0011	0.00002	0.000766	0.000030	0.001476
3593	44.5	43.1	92.7	44	48.2	0.9	11.882	49.6	0.0011	0.00002	0.000766	0.000030	0.001476
3594	44.5	43.1	92.7	44	48.2	0.9	11.882	49.6	0.0011	0.00002	0.000766	0.000030	0.001476
3595	44.5	43.1	92.7	44	48.2	0.9	11.882	49.6	0.0011	0.00002	0.000766	0.000030	0.001476
3596	44.5	43.1	92.7	44	48.2	0.9	11.882	49.6	0.0011	0.00002	0.000766	0.000030	0.001476
3597	44.5	43.1	92.7	44	48.2	0.9	11.882	49.6	0.0011	0.00002	0.000766	0.000030	0.001476
3598	44.5	43.1	92.7	44	48.2	0.9	11.882	49.6	0.0011	0.00002	0.000766	0.000030	0.001476
3599	44.5	43.1	92.7	44	48.2	0.9	11.882	49.6	0.0011	0.00002	0.000766	0.000030	0.001476
3600	44.5	43.1	92.7	44	48.2	0.9	11.882	49.6	0.0011	0.00002	0.000766	0.000030	0.001476
Rata-rata	40.02266667	38.825	82.8185	40.58844444	42.7953	1.86344	43.99350	43.88564	12.8853	0.00002	0.00003	0.00077	0.00004

Data Logger Flow 14 Menggunakan Heat Recovery

Continue

Tanpa Menggunakan Baling-Baling dan Pengaruh Arus

Place	Water		Ref		Ref In HR (°C)	T1	T2	LMTD	Δt _{max}	Qreal (kJ/s)	Qref (kJ/s)	Qmax (kJ/s)	cc (kJ/s e)	ch (kJ/s)	Q max (kJ/s)	Effectiveness
	Out HR (°C)	In HR (°C)	Ref Out HR (°C)	Ref In HR (°C)												
1	30.2	29.8	29.5	29.4	-0.7	-0.4	-0.536	-0.3	0.00933	0.009367	-0.000230	0.000766	0.004141	-0.000230	-1.333333	
2	30.2	29.8	29.5	29.4	-0.7	-0.4	-0.536	-0.3	0.00933	0.009367	-0.000230	0.000766	0.004141	-0.000230	-1.333333	
3	30.2	29.3	30.3	29.4	0.1	0.1	0.100	1.0	0.0077	0.0077	0.000756	0.000766	0.001035	0.000756	0.900000	
4	29.5	29.4	31.3	29.5	1.8	0.1	0.588	1.9	-0.0001	0.00004	0.001456	0.000766	0.000558	0.000109	0.701235	
5	29.5	29.4	31.3	29.5	1.8	0.1	0.588	1.9	0.0001	0.00004	0.001456	0.000766	0.000558	0.000109	0.701235	
6	30.2	29.5	32.8	29.6	2.6	0.1	0.767	3.3	0.0005	0.00017	0.002529	0.000766	0.000226	0.000747	0.717762	
7	30.8	29.5	33.6	29.6	2.8	0.1	0.810	4.1	0.0010	0.00025	0.003142	0.000766	0.000336	0.001380	0.722139	
8	30.8	29.5	34.8	29.7	4.0	0.2	1.268	5.3	0.0010	0.00020	0.004052	0.000766	0.000264	0.001399	0.712261	
9	30.8	29.7	35.7	29.9	4.9	0.2	1.469	6.0	0.0008	0.00015	0.004538	0.000766	0.000196	0.001178	0.715519	
10	30.8	29.7	36.5	30.1	5.7	0.3	1.834	6.8	0.0008	0.00013	0.005211	0.000766	0.000175	0.001191	0.707537	
11	30.8	30	36.5	30.3	5.7	0.1	1.385	6.5	0.0006	0.00010	0.004931	0.000766	0.000129	0.000841	0.728805	
12	30.9	30	37.4	30.3	6.5	0.3	2.016	7.4	0.0007	0.00010	0.005671	0.000766	0.000131	0.000971	0.710185	
13	31	30.1	37.4	30.4	6.4	0.3	1.993	7.3	0.0007	0.00010	0.005534	0.000766	0.000133	0.000972	0.709774	
14	31.1	30.2	37.4	30.5	6.3	0.3	1.971	7.2	0.0007	0.00010	0.005518	0.000766	0.000135	0.000972	0.709351	
15	31.2	30.4	37.4	30.5	6.2	0.1	1.478	7.0	0.0006	0.00009	0.005354	0.000766	0.000120	0.000840	0.729618	
16	31.3	30.4	37.4	30.6	6.1	0.2	1.726	7.0	0.0007	0.00010	0.005354	0.000766	0.000137	0.000959	0.719044	
17	31.3	30.5	37.4	30.6	6.1	0.1	1.460	6.9	0.0006	0.00009	0.005238	0.000766	0.000122	0.000840	0.729465	
18	31.3	30.5	37.4	30.7	6.1	0.2	1.726	6.9	0.0006	0.00009	0.005238	0.000766	0.000124	0.000853	0.718738	
19	31.3	30.5	37.4	30.7	6.1	0.2	1.726	6.9	0.0006	0.00009	0.005238	0.000766	0.000124	0.000853	0.718738	
20	31.3	30.5	37.4	30.7	6.1	0.2	1.726	6.9	0.0006	0.00009	0.005238	0.000766	0.000124	0.000853	0.718738	
21	31.3	30.5	37.4	30.7	6.1	0.2	1.726	6.9	0.0006	0.00009	0.005238	0.000766	0.000124	0.000853	0.718738	
22	31.3	30.6	37.4	30.8	6.1	0.2	1.726	6.8	0.0005	0.00008	0.005211	0.000766	0.000110	0.000747	0.718422	
23	31.4	30.6	37.3	30.8	5.9	0.2	1.684	6.7	0.0006	0.00009	0.005134	0.000766	0.000127	0.000854	0.718097	
24	31.4	30.6	37.2	30.8	5.8	0.2	1.663	6.6	0.0006	0.00010	0.005058	0.000766	0.000129	0.000854	0.717762	
25	31.4	30.6	37.2	30.8	5.8	0.2	1.663	6.6	0.0006	0.00010	0.005058	0.000766	0.000129	0.000854	0.717762	
26	31.4	30.6	37.2	30.7	5.8	0.1	1.404	6.6	0.0006	0.00009	0.005058	0.000766	0.000127	0.000841	0.728977	
27	31.4	30.6	37.2	30.7	5.8	0.1	1.404	6.6	0.0006	0.00009	0.005058	0.000766	0.000127	0.000841	0.728977	
28	31.4	30.6	37.2	30.7	5.8	0.1	1.404	6.6	0.0006	0.00009	0.005058	0.000766	0.000127	0.000841	0.728977	
29	31.4	30.6	37.1	30.7	5.7	0.1	1.385	6.5	0.0006	0.00010	0.004931	0.000766	0.000129	0.000841	0.728805	
30	31.4	30.5	37.1	30.6	5.7	0.1	1.385	6.6	0.0006	0.00010	0.005058	0.000766	0.000143	0.000946	0.728977	
31	31.4	30.5	37.1	30.6	5.7	0.1	1.385	6.6	0.0007	0.00011	0.005058	0.000766	0.000127	0.000841	0.728977	
32	31.4	30.5	37.1	30.6	5.7	0.1	1.385	6.6	0.0007	0.00011	0.005058	0.000766	0.000143	0.000946	0.728977	
33	31.4	30.4	37.1	30.5	5.7	0.1	1.385	6.7	0.0008	0.00012	0.005134	0.000766	0.000157	0.001051	0.728977	
34	31.4	30.4	37.1	30.5	5.7	0.1	1.385	6.7	0.0008	0.00012	0.005134	0.000766	0.000157	0.001051	0.728977	
35	31.4	30.4	37.1	30.5	5.7	0.1	1.385	6.7	0.0008	0.00012	0.005134	0.000766	0.000157	0.001051	0.728977	
36	31.5	30.4	37.2	30.6	5.7	0.2	1.642	6.8	0.0008	0.00013	0.005058	0.000766	0.000173	0.001173	0.718422	
37	31.5	30.4	37.2	30.6	5.7	0.2	1.642	6.8	0.0008	0.00013	0.005058	0.000766	0.000173	0.001173	0.718422	
38	31.5	30.4	37.3	30.7	5.8	0.3	1.857	6.9	0.0008	0.00013	0.005238	0.000766	0.000173	0.001191	0.708010	
39	31.5	30.4	37.3	30.9	5.8	0.5	2.162	6.7	0.0008	0.00013	0.005238	0.000766	0.000178	0.001195	0.686155	
40	31.5	30.4	37.3	31	5.8	0.6	2.292	6.9	0.0008	0.00013	0.005238	0.000766	0.000181	0.001247	0.675228	
41	31.5	30.4	37.2	31.1	5.7	0.1	1.385	6.2	0.0004	0.00005	0.004751	0.000766	0.000085	0.000526	0.728977	
42	31.5	30.4	37.2	31.3	5.7	0.3	1.834	6.2	0.0004	0.00005	0.004751	0.000766	0.000088	0.000544	0.704377	
43	31.5	31	37.2	31.4	5.7	0.4	1.995	6.2	0.0004	0.00007	0.004751	0.000766	0.000098	0.000553	0.692438	
44	31.5	31.4	37.1	31.5	5.6	0.1	1.366	5.7	0.0003	0.00001	0.004338	0.000766	0.000098	0.000553	0.659444	
45	31.5	31.4	37.1	31.5	5.6	0.1	1.366	5.7	0.0003	0.00001	0.004338	0.000766	0.000098	0.000553	0.644242	
46	31.5	31.4	37	31.6	5.5	0.2	1.599	5.6	0.0003	0.00001	0.004338	0.000766	0.000099	0.000553	0.644242	
47	31.5	31.4	36.9	31.7	5.4	0.3	1.754	5.5	0.0003	0.00001	0.004215	0.000766	0.000099	0.000553	0.644242	
48	31.5	31.4	36.9	31.8	5.4	0.4	1.921	5.5	0.0003	0.00001	0.004215	0.000766	0.000112	0.000553	0.644242	
49	31.4	31.3	36.8	31.9	5.4	0.6	2.185	5.5	0.0003	0.00002	0.004215	0.000766	0.000116	0.000553	0.644242	
50	31.5	31.3	36.7	32	5.2	0.7	2.244	5.4	0.0003	0.00002	0.004215	0.000766	0.000116	0.000553	0.644242	
51	31.5	31.3	36.7	32	5.2	0.7	2.244	5.4	0.0003	0.00003	0.004138	0.000766	0.000122	0.000553	0.644242	
52	31.4	31.3	36.7	32	5.3	0.7	2.272	5.4	0.0003	0.00002	0.004138	0.000766	0.000119	0.000553	0.644242	

Data Logger Flow 16 Menggunakan Heat Recovery

Continue

Menggunakan Baling-Baling dan Pengaruh Aritus

Place	Water		Ref	T1	T2	LMTD	Δt_{max}	Qreal	Qref	cc	(kJ/s c)	(kJ/s c)	Q _{max}	Effectiveness
	Out HR(°C)	In HR(°C)												
1	29.2	29.7	30.8	30.6	1.6	0.9	1.237	1.1	-0.0034	-0.00192	0.000843	0.000766	-0.002588	0.134580
2	29.2	29.7	30.8	30.6	1.6	0.9	1.237	1.1	-0.0034	-0.00192	0.000843	0.000766	-0.002588	0.134580
3	29.2	29.7	32	30.6	2.8	0.9	1.674	2.3	-0.0034	-0.0027	0.001753	0.000766	-0.00370	0.450552
4	29.2	29	33.5	30.5	4.3	1.5	2.659	4.5	0.0032	0.00053	0.003449	0.000766	0.000669	0.493462
5	31	29	34.8	30.5	3.8	1.5	2.474	5.8	0.0035	0.00035	0.004445	0.000766	0.000482	0.548763
6	31	29	34.8	30.6	3.8	1.6	2.543	5.8	0.0015	0.00035	0.004445	0.000766	0.000493	0.536001
7	30.2	29	36.3	30.6	6.1	1.6	3.363	7.3	0.0039	0.00016	0.005534	0.000766	0.000218	0.001591
8	30.2	29	37.3	30.6	7.1	1.6	3.691	8.3	0.0014	0.00014	0.006351	0.000766	0.000185	0.597595
9	29.6	30.1	38.2	30.7	8.6	1.6	3.005	8.1	-0.0034	-0.00005	0.006237	0.000766	-0.000559	0.685363
10	29.6	30.1	38.9	30.9	9.3	0.8	3.465	8.8	-0.0034	-0.00005	0.006744	0.000766	-0.00065	0.672902
11	29.6	30.1	39.6	31	10.0	0.9	3.779	9.5	-0.0034	-0.00004	0.007230	0.000766	-0.00060	0.670069
12	29.6	30.1	39.6	31.1	10.0	1	3.909	9.5	-0.0034	-0.00005	0.007230	0.000766	-0.00061	0.662277
13	29.6	30.1	39.6	31.3	10.0	1.2	4.150	9.5	-0.0034	-0.00005	0.007230	0.000766	-0.000593	0.646694
14	29.5	30	39.6	31.4	10.1	1.4	4.403	9.6	-0.0034	-0.00005	0.007357	0.000766	-0.000606	0.632248
15	29.5	29.9	39.6	31.5	10.1	1.6	4.613	9.7	-0.0033	-0.00004	0.007433	0.000766	-0.000551	0.618099
16	29.4	29.8	39.5	31.5	10.1	1.7	4.714	9.7	-0.0033	-0.00004	0.007433	0.000766	-0.000552	0.610468
17	29.4	29.7	39.5	31.6	10.1	1.9	4.908	9.8	-0.0033	-0.00003	0.007510	0.000766	-0.000385	0.596686
18	29.4	29.7	39.5	31.7	10.1	2	5.002	9.8	-0.0032	-0.00003	0.007510	0.000766	-0.000390	0.589133
19	29.4	29.5	39.5	31.7	10.1	2.2	5.183	10.0	-0.0031	-0.00001	0.007653	0.000766	-0.000133	0.577550
20	29.4	29.5	39.5	31.7	10.1	2.2	5.183	10.0	-0.0031	-0.00001	0.007653	0.000766	-0.000133	0.577550
21	29.4	29.5	39.6	31.6	10.2	2.1	5.125	10.1	-0.0031	-0.00001	0.007740	0.000766	-0.000131	0.586291
22	29.4	29.5	39.6	31.6	10.2	2.1	5.125	10.1	-0.0031	-0.00001	0.007740	0.000766	-0.000131	0.586291
23	29.4	29.5	39.6	31.5	10.2	2	5.033	10.1	-0.0031	-0.00001	0.007740	0.000766	-0.000129	0.593620
24	29.4	29.5	39.6	31.4	10.2	1.9	4.939	10.1	-0.0031	-0.00001	0.007740	0.000766	-0.000128	0.600948
25	29.3	29.4	39.5	31.3	10.2	1.9	4.939	10.1	-0.0031	-0.00001	0.007740	0.000766	-0.000128	0.600948
26	29.4	29.3	39.5	31.2	10.1	1.9	4.908	10.2	0.0031	0.00001	0.007817	0.000766	0.000127	0.602313
27	29.4	29.3	39.3	31.1	9.9	1.8	4.751	10.0	0.0031	0.00001	0.007653	0.000766	0.000126	0.606958
28	29.4	29.3	39.3	31.1	9.9	1.8	4.751	10.0	0.0031	0.00001	0.007653	0.000766	0.000126	0.606958
29	29.4	29.3	39.2	31.1	9.8	1.8	4.721	9.9	0.0031	0.00001	0.007537	0.000766	0.000127	0.605612
30	29.4	29.3	39.5	31.3	10.2	1.9	4.939	10.1	0.0031	0.00001	0.007740	0.000766	0.000127	0.602837
31	29.4	29.3	38.8	31.1	9.4	1.8	4.598	9.5	0.0031	0.00001	0.007230	0.000766	0.000128	0.599945
32	29.4	29.5	38.5	31.1	9.1	1.6	4.315	9.0	-0.0031	-0.00001	0.006837	0.000766	-0.000126	0.584843
33	29.4	29.5	38.3	31.1	8.9	1.6	4.254	8.8	-0.0031	-0.00001	0.006744	0.000766	-0.000127	0.605612
34	29.4	29.5	38	31.1	8.6	1.6	4.162	8.5	-0.0031	-0.00001	0.006514	0.000766	-0.000128	0.597595
35	29.4	29.5	37.8	31.1	8.4	1.6	4.101	8.3	-0.0031	-0.00001	0.006351	0.000766	-0.000128	0.555144
36	29.4	29.5	37.8	31.2	8.4	1.7	4.194	8.3	-0.0031	-0.00001	0.006351	0.000766	-0.000128	0.542808
37	29.4	29.5	37.6	31.2	8.2	1.7	4.131	8.1	-0.0031	-0.00001	0.006237	0.000766	-0.000144	0.532939
38	29.4	29.5	37.4	31.2	8.0	1.7	4.068	7.9	-0.0031	-0.00001	0.006054	0.000766	-0.000144	0.523069
39	29.4	29.5	37.2	31.3	7.8	1.8	4.092	7.7	-0.0031	-0.00001	0.005951	0.000766	-0.000144	0.520911
40	29.4	29.5	37.1	31.4	7.7	1.9	4.145	7.6	-0.0031	-0.00001	0.005824	0.000766	-0.000144	0.506447
41	29.4	29.5	37	31.5	7.6	2	4.195	7.5	-0.0031	-0.00001	0.005748	0.000766	-0.000144	0.502951
42	29.4	29.5	37	31.6	7.6	2.1	4.276	7.5	-0.0031	-0.00001	0.005748	0.000766	-0.000144	0.499630
43	29.4	29.4	37	31.7	7.6	2.2	4.356	7.5	-0.0031	-0.00001	0.005748	0.000766	-0.000144	0.499630
44	29.4	29.5	37	31.8	7.6	2.3	4.434	7.5	-0.0031	-0.00001	0.005748	0.000766	-0.000144	0.513200
45	29.4	29.5	37.1	31.9	7.7	2.4	4.546	7.6	-0.0031	-0.00001	0.005824	0.000766	-0.000144	0.506447
46	29.4	29.5	37.2	31.9	7.7	2.5	4.633	7.8	0.0031	0.00001	0.005977	0.000766	0.000138	0.555144
47	29.5	29.4	37.4	32	7.9	2.6	4.769	8.0	0.0031	0.00001	0.006131	0.000766	0.000138	0.542808
48	29.4	29.5	37.5	32.1	8.1	2.6	4.840	8.0	-0.0031	-0.00001	0.006131	0.000766	-0.000144	0.532939
49	29.4	29.5	37.7	32.2	8.3	2.7	4.987	8.2	-0.0031	-0.00001	0.006234	0.000766	-0.000144	0.523069
50	29.4	29.5	37.8	32.3	8.4	2.8	5.097	8.3	-0.0031	-0.00001	0.006351	0.000766	-0.000144	0.520911

Data Logger Flow 16 Menggunakan Heat Recovery

Continue

Tampa Menggunakan Baling-Baling dan Pengaruh Arus

Place	Water Out HR(°C)	Water In HR(°C)	Ref In HR(°C)	Ref Out HR(°C)	T1	T2	LMTD	Δt _{max}	Oreal (kJ/s)	Q _{max} (kJ/s)	ch (kJ/s c)	Q _{max} (kJ/s)	Effectiveness
1	29.9	28.7	28.6	28.3	-0.764	-0.4	-0.764	-0.1	0.0009	0.000766	0.0004141	-0.000077	-12.000000
2	29.9	28.7	28.6	28.3	-0.4	-0.4	-0.764	-0.1	0.0009	0.000766	0.0004141	-0.000077	-12.000000
3	29.9	28.7	29.1	28.3	-0.8	-0.4	-0.577	0.4	0.0009	0.000307	0.001553	0.000307	3.000000
4	29.2	27	31	28.3	1.8	1.3	1.536	4.0	0.0017	0.00062	0.003065	0.000844	0.550000
5	29.2	27	31.2	28.4	2.0	1.4	1.682	4.2	0.0017	0.00060	0.003219	0.000813	0.523810
6	31.2	27	32.6	28.4	1.4	1.4	1.455	5.6	0.0032	0.000766	0.001035	0.004291	0.750000
7	31.4	27	34.1	28.4	2.7	1.4	1.979	7.1	0.0034	0.00559	0.005441	0.000799	0.619718
8	31	27	34.1	28.6	3.1	1.6	2.268	7.1	0.0031	0.00556	0.005441	0.000753	0.005346
9	32.6	27	34.9	28.7	2.3	1.7	1.985	7.9	0.0043	0.00669	0.006054	0.000935	0.006054
10	32.6	27	36	29	3.4	2	2.638	9.0	0.0043	0.00661	0.006897	0.000766	0.006897
11	32.6	29.1	36	29.2	3.4	0.1	0.936	6.9	0.0027	0.00039	0.005288	0.000533	0.003677
12	32.6	29.1	36.8	29.5	4.2	0.4	1.616	7.7	0.0027	0.00037	0.005901	0.000766	0.004946
13	32.6	29.1	36.8	29.5	4.2	0.4	1.616	7.7	0.0027	0.00037	0.005901	0.000766	0.003822
14	32.6	29.2	36.8	29.8	4.2	0.6	1.850	7.6	0.0026	0.00037	0.005824	0.000766	0.003822
15	32.7	29.2	36.8	30.1	4.1	0.9	2.110	7.6	0.0027	0.00040	0.005824	0.000766	0.00541
16	32.8	29.2	36.8	30.3	4.0	1.1	2.246	7.6	0.0028	0.00042	0.005824	0.000766	0.004358
17	32.9	29.2	36.8	30.5	3.9	1.3	2.367	7.6	0.0028	0.00045	0.005824	0.000766	0.004621
18	33	29.2	36.9	30.6	3.9	1.4	2.440	7.7	0.0029	0.00046	0.005901	0.000766	0.00624
19	33	29.2	36.9	30.6	3.9	1.4	2.440	7.7	0.0029	0.00046	0.005901	0.000766	0.00624
20	33.1	29.2	37	30.6	3.9	1.4	2.440	7.8	0.0030	0.00047	0.005977	0.000766	0.004921
21	33.1	29.7	37.1	30.6	4.0	0.9	2.078	7.4	0.0026	0.00040	0.005671	0.000766	0.005407
22	33.1	29.7	37.2	30.6	4.1	0.9	2.110	7.5	0.0026	0.00039	0.005748	0.000766	0.005333
23	33.1	29.7	37.2	30.6	4.1	0.9	2.110	7.5	0.0026	0.00039	0.005748	0.000766	0.004621
24	33.1	29.7	37.2	30.6	4.1	0.9	2.110	7.5	0.0026	0.00039	0.005748	0.000766	0.004621
25	33.1	29.7	37.2	30.6	4.1	0.9	2.110	7.5	0.0026	0.00039	0.005748	0.000766	0.004621
26	33.1	29.7	37.2	30.6	4.1	0.9	2.110	7.5	0.0026	0.00039	0.005748	0.000766	0.004621
27	33.1	29.7	37.2	30.6	4.2	0.9	2.142	7.5	0.0025	0.00038	0.005748	0.000766	0.004621
28	33.1	29.7	37.1	30.5	4.0	0.8	1.988	7.4	0.0026	0.00039	0.005761	0.000766	0.004621
29	33.1	30.1	37.1	30.5	4.0	0.4	1.563	7.0	0.0023	0.00035	0.005364	0.000766	0.004621
30	33.1	30.1	37.1	30.5	4.0	0.4	1.563	7.0	0.0023	0.00035	0.005364	0.000766	0.004621
31	33.1	30.1	37.1	30.5	4.0	0.4	1.563	7.0	0.0023	0.00035	0.005364	0.000766	0.004621
32	33.1	30.1	37.1	30.4	4.0	0.3	1.428	7.0	0.0023	0.00034	0.005364	0.000766	0.004621
33	33	30.1	37.2	30.4	4.2	0.3	1.478	7.1	0.0022	0.00033	0.005441	0.000766	0.004621
34	33	30.1	37.2	30.4	4.2	0.3	1.478	7.1	0.0022	0.00033	0.005441	0.000766	0.004621
35	33	30.1	37.1	30.4	4.2	0.3	1.478	7.1	0.0022	0.00033	0.005441	0.000766	0.004621
36	33	30.1	37.2	30.4	4.2	0.3	1.478	7.1	0.0022	0.00033	0.005441	0.000766	0.004621
37	33	30.1	37.3	30.4	4.3	0.3	1.502	7.2	0.0022	0.00032	0.005518	0.000766	0.004621
38	33	30.1	37.4	30.4	4.4	0.3	1.527	7.3	0.0022	0.00032	0.005594	0.000766	0.004621
39	33	30.1	37.3	30.5	4.3	0.4	1.642	7.2	0.0022	0.00033	0.005518	0.000766	0.004621
40	33	30.1	37.4	30.6	4.4	0.5	1.793	7.3	0.0022	0.00033	0.005594	0.000766	0.004621
41	33	30.1	37.3	30.7	4.3	0.6	1.879	7.2	0.0022	0.00034	0.005518	0.000766	0.004621
42	33	30.1	37.2	30.9	4.3	0.8	2.081	7.2	0.0022	0.00035	0.005518	0.000766	0.004621
43	33	30.1	37.3	31	4.3	0.9	2.174	7.2	0.0022	0.00035	0.005518	0.000766	0.004621
44	33	30.1	37.2	31	4.2	0.9	2.142	7.1	0.0022	0.00036	0.005441	0.000766	0.004621
45	33	30.1	37.4	31.2	4.2	0.3	1.478	6.3	0.0016	0.00027	0.004828	0.000766	0.004621
46	33	30.1	37.1	31.3	4.1	0.4	1.590	6.2	0.0016	0.00028	0.004751	0.000766	0.004621
47	33	30.1	37.1	31.4	4.1	0.5	1.711	6.2	0.0016	0.00028	0.004751	0.000766	0.004621
48	33	30.1	37.1	31.5	4.1	0.7	1.923	6.2	0.0016	0.00029	0.004751	0.000766	0.004621
49	32.9	30.9	37.1	31.7	4.2	0.8	2.050	6.2	0.0015	0.00028	0.004751	0.000766	0.004621
50	33	30.9	37.1	31.9	4.1	1	2.197	6.2	0.0016	0.00031	0.004751	0.000766	0.004621

3579	45.4	44	44.6	48.1	0.6	10.835	49.5	0.00002	0.037934	0.000076	0.000030	0.001467	0.731220	
3580	45.4	44	44.6	48.1	0.6	10.835	49.5	0.00002	0.037934	0.000076	0.000030	0.001467	0.731220	
3581	45.4	44	44.6	48.1	0.6	10.835	49.5	0.0001	0.00002	0.037934	0.000076	0.000030	0.001467	0.731220
3582	45.4	44	44.6	48.1	0.6	10.835	49.5	0.0001	0.00002	0.037934	0.000076	0.000030	0.001467	0.731220
3583	45.4	44	44.7	48.1	0.7	11.206	49.5	0.0001	0.00002	0.037934	0.000076	0.000030	0.001470	0.729725
3584	45.4	44	44.7	48.1	0.7	11.206	49.5	0.0001	0.00002	0.037934	0.000076	0.000030	0.001470	0.729725
3585	45.4	44	44.7	48.1	0.7	11.206	49.5	0.0001	0.00002	0.037934	0.000076	0.000030	0.001470	0.729725
3586	45.4	44	44.7	48.1	0.7	11.206	49.5	0.0001	0.00002	0.037934	0.000076	0.000030	0.001470	0.729725
3587	45.4	44	44.7	48.1	0.7	11.206	49.5	0.0001	0.00002	0.037934	0.000076	0.000030	0.001470	0.729725
3588	45.4	44	44.7	48.1	0.7	11.206	49.5	0.0001	0.00002	0.037934	0.000076	0.000030	0.001470	0.729725
3589	45.4	44	44.7	48.1	0.7	11.206	49.5	0.0001	0.00002	0.037934	0.000076	0.000030	0.001470	0.729725
3590	45.4	44	44.7	48.1	0.7	11.206	49.5	0.0001	0.00002	0.037934	0.000076	0.000030	0.001470	0.729725
3591	45.4	44	44.7	48.1	0.7	11.206	49.5	0.0001	0.00002	0.037934	0.000076	0.000030	0.001470	0.729725
3592	45.4	44	44.7	48.1	0.7	11.206	49.5	0.0001	0.00002	0.037934	0.000076	0.000030	0.001470	0.729725
3593	45.4	44	44.8	48.1	0.8	11.547	49.5	0.0001	0.00002	0.037934	0.000076	0.000030	0.001473	0.728330
3594	45.4	44	44.8	48.1	0.8	11.547	49.5	0.0001	0.00002	0.037934	0.000076	0.000030	0.001473	0.728330
3595	45.4	44.1	44.7	48.1	0.6	10.835	49.4	0.00002	0.037857	0.000076	0.000028	0.001362	0.731202	
3596	45.4	44.1	44.7	48.1	0.6	10.835	49.4	0.00002	0.037857	0.000076	0.000028	0.001362	0.731202	
3597	45.4	44.1	44.7	48.1	0.6	10.835	49.4	0.00010	0.00002	0.037857	0.000076	0.000028	0.001362	0.731202
3598	45.4	44.1	44.7	48.1	0.6	10.835	49.4	0.00010	0.00002	0.037857	0.000076	0.000028	0.001362	0.731202
3599	45.4	44.1	44.7	48.1	0.6	10.835	49.4	0.00010	0.00002	0.037857	0.000076	0.000028	0.001362	0.731202
3600	45.4	44.1	44.7	48.1	0.6	10.835	49.4	0.00010	0.00002	0.037857	0.000076	0.000028	0.001362	0.731202
Rata-rata	40.50844444	39.4117778	40.99966667	83.20488889	42.69644	1.58839	43.79361	12.26570	0.00084	0.00003	0.03356	0.00077	0.00004	0.00118

Data Logger Flow 18 Menggunakan Heat Recovery

Continue

Place	Water		Ref		T1	T2	LMTD	Δt _{max}	Q _{real} (kJ/s)	Q _{max} (kJ/s)	cc (kJ/s c)	ch (kJ/s c)	Q _{max} (kJ/s)	Effectiveness
	Out HR(°C)	In HR(°C)	In HR(°C)	Out HR(°C)										
1	29.3	28.8	29.8	29.8	28.9	0.5	0.1	0.249	1.0	0.00043	0.000766	0.000575	0.000575	0.666173
2	29.3	28.7	29.8	29.8	28.9	0.5	0.2	0.327	1.1	0.00051	0.000843	0.000766	0.000759	0.605612
3	34.1	30.3	31.8	31.8	-1.813	-1.4	-1.4	-1.813	1.5	0.00100	0.001150	0.001357	0.001150	2.533333
4	34.1	30.3	31.8	31.8	28.9	-2.3	-1.4	-1.813	1.5	0.0029	0.001150	0.000766	0.001150	2.533333
5	29.3	28.8	33.9	29	4.6	0.2	1.403	5.1	0.0044	0.00003	0.003908	0.000106	0.000539	0.711165
6	29.3	28.8	35.2	29	5.9	0.2	1.684	6.4	0.0044	0.00005	0.004905	0.000766	0.000534	0.717061
7	29.3	29	36.3	29.1	7.0	0.1	1.624	7.3	0.0052	0.00003	0.00594	0.000766	0.00043	0.730053
8	29.2	29	37.2	29.3	8.0	0.3	2.345	8.2	0.0002	0.00026	0.006234	0.000766	0.000215	0.733112
9	29.1	29	37.9	29.5	8.8	0.5	2.894	8.9	0.0031	0.0001	0.006820	0.000766	0.000110	0.688609
10	29.1	29.5	38.5	29.6	9.4	0.1	2.047	9.0	-0.0033	-0.0003	0.006897	0.000766	-0.000419	0.731968
11	29	29.5	38.5	29.8	9.5	0.3	2.663	9.0	-0.004	-0.0004	0.006897	0.000766	-0.00060	0.715519
12	28.9	29.8	38.5	30	9.6	0.2	2.428	8.7	-0.0037	-0.0003	0.006657	0.000766	-0.000110	0.723177
13	28.9	29.8	38.5	30.2	9.6	0.4	2.895	8.7	-0.0037	-0.0003	0.006657	0.000766	-0.000112	0.706161
14	28.9	29.8	38.5	30.2	9.6	0.4	2.895	8.7	-0.0037	-0.0003	0.006657	0.000766	-0.000112	0.706161
15	28.9	29.8	38.4	30.3	9.5	0.5	3.057	8.6	-0.0037	-0.0003	0.006590	0.000766	-0.000110	0.697158
16	28.9	29.8	38.4	30.5	9.5	0.7	3.374	8.6	-0.0037	-0.0003	0.006590	0.000766	-0.000118	0.679944
17	28.9	29.8	38.5	30.6	9.6	0.8	3.541	8.7	-0.0037	-0.0003	0.006657	0.000766	-0.000118	0.672129
18	28.9	29.7	38.5	30.6	9.6	0.9	3.675	8.8	-0.0037	-0.0003	0.006744	0.000766	-0.000112	0.664491
19	28.9	29.7	38.6	30.6	9.7	0.9	3.701	8.9	-0.0036	-0.0003	0.006820	0.000766	-0.000104	0.665342
20	28.9	29.7	38.6	30.6	9.7	0.9	3.701	8.9	-0.0036	-0.0003	0.006820	0.000766	-0.000104	0.665342
21	28.9	29.7	38.7	30.5	9.8	0.8	3.592	9.0	-0.0036	-0.0007	0.006897	0.000766	-0.000104	0.674398
22	28.9	29.7	38.7	30.4	9.8	0.7	3.448	9.0	-0.0036	-0.0007	0.006897	0.000766	-0.000100	0.682622
23	28.9	29.7	38.7	30.3	9.8	0.6	3.294	9.0	-0.0036	-0.0007	0.006897	0.000766	-0.000100	0.689846
24	28.9	29.7	38.7	30.2	9.8	0.5	3.125	9.0	-0.0036	-0.0003	0.006897	0.000766	-0.000097	0.699071
25	28.9	29.7	38.6	30.1	9.7	0.4	3.701	8.9	-0.0036	-0.0003	0.006820	0.000766	-0.000104	0.665342
26	28.9	29.7	38.6	30.1	9.7	0.4	3.592	9.0	-0.0036	-0.0007	0.006897	0.000766	-0.000101	0.665342
27	28.9	29.7	38.6	30.1	9.7	0.4	2.917	8.9	-0.0036	-0.0007	0.006820	0.000766	-0.000104	0.674398
28	28.9	29.7	38.6	30.1	9.7	0.4	2.917	8.9	-0.0036	-0.0007	0.006820	0.000766	-0.000104	0.674398
29	28.9	29.7	38.7	30	9.4	0.3	2.642	8.6	-0.0036	-0.0007	0.006897	0.000766	-0.000100	0.689071
30	28.9	29.7	38.7	30.1	9.7	0.4	2.917	8.9	-0.0036	-0.0007	0.006820	0.000766	-0.000104	0.665342
31	28.9	29.7	37.9	30	9.0	0.3	2.558	8.2	-0.0036	-0.0003	0.006234	0.000766	-0.000105	0.713112
32	28.9	29.7	37.7	30.1	8.8	0.4	2.718	8.0	-0.0036	-0.0003	0.006131	0.000766	-0.000109	0.703183
33	28.9	29.7	37.4	30.2	8.5	0.5	2.824	7.7	-0.0036	-0.0003	0.005901	0.000766	-0.000115	0.692128
34	28.9	29.8	37.4	30.3	8.5	0.5	2.873	7.7	-0.0036	-0.0007	0.006657	0.000766	-0.000100	0.706161
35	28.9	29.8	37.1	30.4	8.2	0.6	2.600	8.4	-0.0036	-0.0003	0.006437	0.000766	-0.000107	0.713757
36	28.9	29.7	36.8	30.4	7.9	0.7	2.971	7.1	-0.0036	-0.0003	0.006859	0.000766	-0.000129	0.667216
37	28.9	29.7	36.6	30.4	7.7	0.7	2.919	6.9	-0.0036	-0.0003	0.006234	0.000766	-0.000134	0.665100
38	28.9	29.7	36.4	30.5	7.5	0.8	2.994	6.7	-0.0036	-0.0006	0.006131	0.000766	-0.000140	0.651811
39	28.9	29.7	36.3	30.6	7.4	0.9	3.085	6.6	-0.0036	-0.0006	0.005924	0.000766	-0.000145	0.639257
40	28.9	29.7	36.2	30.7	7.3	1	3.169	6.5	-0.0037	-0.00011	0.005824	0.000766	-0.000131	0.691496
41	28.9	29.7	36.1	30.4	7.3	1.1	3.276	6.5	-0.0036	-0.00011	0.004931	0.000766	-0.000153	0.614929
42	28.9	29.7	36.2	30.9	7.3	1.2	3.378	6.5	-0.0036	-0.00012	0.004931	0.000766	-0.000156	0.603542
43	28.9	29.7	36.2	31	7.3	1.3	3.477	6.5	-0.0036	-0.00012	0.004931	0.000766	-0.000159	0.592154
44	28.9	29.7	36.3	31	7.4	1.3	3.508	6.6	-0.0036	-0.00012	0.005058	0.000766	-0.000156	0.594397
45	28.9	29.7	36.4	31.2	7.5	1.5	3.728	6.7	-0.0036	-0.00012	0.005134	0.000766	-0.000159	0.574478
46	28.9	29.7	36.5	31.3	7.6	1.6	3.851	6.8	-0.0036	-0.00012	0.005211	0.000766	-0.000163	0.566030
47	28.9	29.7	36.6	31.4	7.7	1.7	3.972	6.9	-0.0036	-0.00012	0.005338	0.000766	-0.000159	0.557826
48	28.9	29.7	36.7	31.5	7.9	1.8	4.124	7.1	-0.0036	-0.00012	0.005441	0.000766	-0.000160	0.552538
49	28.9	29.7	36.9	31.5	8.0	1.8	4.156	7.2	-0.0036	-0.00012	0.005518	0.000766	-0.000153	0.555144
50	28.9	29.7	36.9	31.5	8.0	1.8	4.156	7.2	-0.0036	-0.00011	0.005518	0.000766	-0.000104	0.555144
51	28.9	29.7	37	31.6	8.1	1.9	4.276	7.3	-0.0036	-0.00011	0.005594	0.000766	-0.000120	0.547540
52	29	29.7	37.1	8.1	2	4.361	7.4	-0.0035	-0.00010	0.005671	0.000766	-0.000134	0.540140	

Data Logger Flow 18 Menggunakan Heat Recovery

Continue

Place	Water Out HR(°C)	Water In HR(°C)	Ref ln HR(°C)	Ref Out HR(°C)	Tampa Menggunakan Baling-Baling dan Pengaruh Arus			Qref (kJ/s)	Qmax (kJ/s)	dh (kJ/s c)	Effectiveness
					T1	T2	LMTD				
1	36,8	28,9	32,9	29,3	-3,9	0,4	1,025	4,0	0,0061	0,00168	1,975000
2	30,8	28,9	32,9	29,3	2,1	0,4	1,025	4,0	0,0015	0,00040	0,666173
3	30,8	28,9	32,9	29,3	2,1	0,4	1,025	4,0	0,0015	0,00040	0,666173
4	30,2	29	35,1	29,3	4,9	0,3	1,647	6,1	0,0009	0,00016	0,002186
5	30,2	29	36,4	29,4	6,2	0,4	2,116	7,4	0,0009	0,00013	0,002186
6	29,5	29	37,9	29,5	8,4	0,5	2,800	8,9	0,0004	0,00005	0,000546
7	30	29,5	37,9	29,6	7,9	0,1	1,785	8,4	0,0004	0,00005	0,000548
8	30	29,5	39,1	29,7	9,1	0,2	2,331	9,6	0,0004	0,00004	0,000524
9	30	29,5	39,8	29,7	9,8	0,2	2,467	10,3	0,0004	0,00004	0,000529
10	29,4	29,5	39,8	29,9	10,4	0,4	3,069	10,3	-0,0001	-0,00001	-0,000108
11	29,3	29,5	39,8	30,1	10,5	0,6	3,459	10,3	-0,0002	-0,00002	-0,000220
12	29,2	29,5	39,8	30,3	10,6	0,8	3,793	10,3	-0,0002	-0,00002	-0,00033
13	29,2	30	39,8	30,5	10,6	0,5	3,307	9,8	-0,0006	-0,00006	-0,000873
14	29,1	30	40	30,6	10,9	0,6	3,552	10,0	-0,0007	-0,00007	-0,00099
15	29	30	40	30,6	11,0	0,6	3,575	10,0	-0,0008	-0,00008	-0,000991
16	29	30,6	40,1	30,8	11,1	0,2	2,714	9,5	-0,0012	-0,00013	-0,001101
17	29	30,6	40,3	30,9	11,3	0,3	3,031	9,7	-0,0012	-0,00013	-0,001147
18	29	30,6	40,5	30,9	11,5	0,3	3,072	9,9	-0,0012	-0,00013	-0,001169
19	29	30,6	40,6	30,9	11,6	0,3	3,092	10,0	-0,0012	-0,00013	-0,001174
20	29	30,6	40,6	30,9	11,6	0,3	3,092	10,0	-0,0012	-0,00013	-0,001176
21	29	30,6	40,6	30,8	11,6	0,3	3,092	10,1	-0,0011	-0,00012	-0,001179
22	29,1	30,5	40,6	30,7	11,5	0,2	2,789	10,1	-0,0011	-0,00012	-0,001176
23	29,1	30,5	40,4	30,7	11,3	0,2	2,751	9,9	-0,0011	-0,00011	-0,001179
24	29,1	30,5	40,2	30,7	11,1	0,2	2,714	9,7	-0,0011	-0,00011	-0,001178
25	29,1	30,5	40	30,7	10,9	0,2	2,676	9,5	-0,0011	-0,00013	-0,001177
26	29,1	30,5	39,6	30,8	10,5	0,3	2,869	9,1	-0,0011	-0,00012	-0,001177
27	29,1	30,5	39,3	30,9	10,2	0,4	3,026	8,8	-0,0011	-0,00013	-0,001176
28	29,1	30,5	38,9	30,9	9,8	0,4	2,939	8,4	-0,0011	-0,00013	-0,001176
29	29,1	30,5	38,9	30,9	9,8	0,4	2,939	8,4	-0,0011	-0,00013	-0,001176
30	29,1	30,5	38,5	30,9	9,4	0,4	2,851	8,0	-0,0011	-0,00012	-0,001176
31	29,1	30,5	38,1	30,9	9,0	0,4	2,762	7,6	-0,0011	-0,00012	-0,001176
32	29,1	30,5	37,9	30,9	8,8	0,4	2,718	7,4	-0,0011	-0,00012	-0,001176
33	29,1	30,5	37,6	31	8,5	0,5	2,824	7,1	-0,0011	-0,00012	-0,001176
34	29,1	30,5	37,3	31	8,2	0,5	2,753	6,8	-0,0011	-0,00012	-0,001176
35	29,1	30,5	37,2	31	8,1	0,5	2,729	6,7	-0,0011	-0,00012	-0,001176
36	29,1	30,5	37	31,1	7,9	0,6	2,832	6,5	-0,0011	-0,00012	-0,001176
37	29,2	30,5	37	31,1	7,7	0,7	2,919	6,4	-0,0010	-0,00012	-0,001176
38	29,2	30,5	36,9	31,1	7,7	0,6	2,782	6,4	-0,0010	-0,00012	-0,001176
39	29,2	30,5	36,8	31,1	7,6	0,6	2,757	6,3	-0,0010	-0,00012	-0,001176
40	29,3	30,6	36,8	31,2	7,5	0,6	2,732	6,2	-0,0010	-0,00012	-0,001176
41	29,3	30,6	36,8	31,3	7,5	0,7	2,867	6,2	-0,0010	-0,00012	-0,001176
42	29,3	30,6	37	31,3	7,7	0,7	2,997	6,7	-0,0010	-0,00012	-0,001176
43	29,3	30,6	37,1	31,4	7,8	0,8	3,074	6,5	-0,0010	-0,00012	-0,001176
44	29,4	30,7	37,2	31,4	7,8	0,7	2,945	6,5	-0,0010	-0,00012	-0,001176
45	29,4	30,7	37,2	31,4	7,8	0,7	2,945	6,5	-0,0010	-0,00012	-0,001176
46	29,4	30,7	37,4	31,5	7,5	0,7	3,127	6,7	-0,0010	-0,00012	-0,001176
47	29,5	30,8	37,5	31,5	8,0	0,7	2,997	6,7	-0,0010	-0,00012	-0,001176
48	29,5	30,8	37,6	31,6	8,1	0,8	3,153	6,8	-0,0010	-0,00012	-0,001176
49	29,5	30,8	37,8	31,6	8,3	0,8	3,206	7,0	-0,0010	-0,00012	-0,001176
50	29,5	30,8	37,9	31,7	8,4	0,9	3,358	7,1	-0,0010	-0,00012	-0,001176

KEMENTERIAN PENDIDIKAN, KEBUDAYAAN, RISET, DAN TEKNOLOGI

POLITEKNIK NEGERI BALI
JURUSAN TEKNIK MESIN

FORM BIMBINGAN TUGAS AKHIR TAHUN AKADEMIK 2021/2022

NAMA	: I PUTU SANDI RADITYA
NIM	: 1815234015
PROGRAM STUDI	: D4 TEKNOLOGI REKAYASA UTILITAS
PEMBIMBING	: Dr. PUTU WIJAYA SUNU, ST, MT
(I/II)	

NO.	TGL/BLN/THN	URAIAN PERKEMBANGAN	PARAF PEMBIMBING
1	2/8/22	Revisi Bab IV Tata Tulis.	f
2	9/8/22	Revisi Rumus LMTD.	f
3	15/8/22	Revisi Grafik Areal	z
4	22/8/22	Revisi Grafik LMTD.	z
5	29/8/22	Revisi Abstrak Daftar pasraha.	z
6.	31/8/22	Acc Skripsi	z

KEMENTERIAN PENDIDIKAN, KEBUDAYAAN, RISET, DAN TEKNOLOGI

POLITEKNIK NEGERI BALI
JURUSAN TEKNIK MESIN

FORM BIMBINGAN TUGAS AKHIR TAHUN AKADEMIK 2021/2022

NAMA	: 1 PUTU SANO RADITYA
NIM	: 1815234015
PROGRAM STUDI	: D4 TEKNOLOGI REKAYASA UTILITAS.
PEMBIMBING	: 1 DEWA MADE CIPTA SANTOSA, ST, M.Eng, Ph.D.
(1/II)	

NO.	TGL/BLN/THN	URAIAN PERKEMBANGAN	PARAF PEMBIMBING
1	2/8/22	Revisi Bab IV	Agus
2	9/8/22	Revisi Bab IV Tata Tulis	Agus
3	15/8/22	Revisi Bab V Tata Tulis	Agus
4	31/8/22	Revisi Daftar Pustaka	Agus



KEMENTERIAN PENDIDIKAN, KEBUDAYAAN, RISET DAN TEKNOLOGI
POLITEKNIK NEGERI BALI – JURUSAN TEKNIK MESIN
PRODI TEKNOLOGI REKAYASA UTILITAS

Jalan Kampus Bukit Jimbaran, Kuta Selatan Badung, Bali –80364
Telp (0361) 701981(hunting) Fax. 701128<http://www.pnb.ac.id> - Email :poltek@pnb.ac.id

No : 114 /PL.8.TM/ART/2022

Jimbaran, 01/08/2022

Lamp :-

Hal : Penerimaan Artikel TRU

Dengan ini menyatakan bahwa Artikel dengan ;

Judul : Pengaruh Laju Aliran Volume Air Pada Heat Recovery Dengan Tambahan
4 Baling-Baling Dan Pengarah Arus

NAMA : I Putu Sandi Raditya

NIM : 1815234015

Dinyatakan telah diterima dan sesuai dengan ketentuan penulisan artikel di
prodi TRU-PNB untuk diteruskan ke pengelola jurnal JAMETECH.

Demikian surat penerimaan artikel ini untuk dapat digunakan dimana perlunya.



Dr. Made Egy Arsana, ST, MT
NIP. 196703131991031001